

COMISIÓN INTERAMERICANA DEL ATÚN TROPICAL

COMITÉ CIENTÍFICO ASESOR

PRIMERA REUNIÓN

La Jolla, California (EE.UU.)

31 de agosto - 3 de septiembre de 2010

DOCUMENTO SAC-01-15

LOS EFECTOS DE LA PESCA ATUNERA SOBRE EL ECOSISTEMA DEL OCEANO PACÍFICO ORIENTAL

Robert J. Olson

1. Introducción	1
2. Impacto de las capturas	2
3. Otros componentes del ecosistema	7
4. Interacciones tróficas.....	9
5. Ambiente físico	11
6. Indicadores agregados	12
7. Evaluación de riesgos ecológicos	14
8. Modelado de ecosistemas	15
9. Acciones de la CIAT y el APICD relativas a consideraciones de ecosistema	16
10. Acontecimientos futuros.....	18

1. INTRODUCCIÓN

El Código de Conducta para la Pesca Responsable de FAO dispone que la ordenación de pesquerías debiera asegurar la conservación de no sólo las especies objetivo, sino también de las otras especies que pertenecen al mismo ecosistema. En 2001, la Declaración de Reykiavik sobre la Pesca Responsable en el Ecosistema elaboró esta norma con un compromiso de incorporar un enfoque de ecosistema en la ordenación de las pesquerías.

La CIAT ha tomado cuestiones de ecosistema en cuenta en muchas de sus decisiones, y el presente informe sobre el ecosistema pelágico de alta mar del Océano Pacífico tropical y subtropical, que constituye el hábitat de los atunes y peces picudos, ha estado disponible desde 2003 para ayudar en la toma de decisiones de ordenación. Esta sección brinda un panorama coherente, resumiendo los conocimientos del impacto directo de la pesca sobre varias especies y grupos de especies en el ecosistema, y presenta los conocimientos del medio ambiente y de otras especies que no son afectadas directamente por la pesca.

Este análisis no sugiere objetivos para la incorporación de consideraciones de ecosistema en la ordenación de las pesquerías de atunes o peces picudos ni nuevas medidas de ordenación. Su propósito principal es más bien brindar a la Comisión la oportunidad de asegurar que dichas consideraciones formen parte de su agenda.

Es importante tener en cuenta que la perspectiva que tenemos del ecosistema se basa en el pasado reciente; disponemos de muy poca información sobre el ecosistema antes de que comenzara la explotación. Además, el medio ambiente está sujeto a cambios en varias escalas temporales, entre ellas las conocidas fluctuaciones de El Niño y cambios a plazo mayor recientemente reconocidos, tales como la Oscilación Decadal del Pacífico y otros cambios climáticos.

Además de reportar las capturas de las especies principales de atunes y peces picudos, el personal reporta

las capturas incidentales de otras especies que normalmente son descartadas. En la presente sección, se presentan datos sobre dichas capturas incidentales en el contexto del efecto de la pesca sobre el ecosistema. Desgraciadamente, mientras que se cuenta con información relativamente buena para los atunes y peces picudos, no se dispone de información para la pesquería entera. La información es completa para los buques cerqueros grandes (de más de 363 toneladas de capacidad de acarreo) que llevan observadores bajo el Acuerdo sobre el Programa Internacional para la Conservación de los Delfines (APICD), y se registra información sobre capturas retenidas también para otros buques cerqueros, barcos cañeros, y gran parte de la flota palangrera. Se dispone de cierta información sobre tiburones retenidos por partes de la flota palangrera. Se cuenta también con información sobre capturas incidentales y descartes de los cerqueros grandes y de algunos de menor tamaño. Se dispone de poca información sobre las capturas incidentales y descartes de otros buques pesqueros.

2. IMPACTO DE LAS CAPTURAS

2.1. Evaluaciones de especies individuales

En otros documentos preparados para esta reunión se presenta información sobre el efecto de la pesca atunera sobre las poblaciones de especies individuales en el Océano Pacífico oriental (OPO) y evaluaciones detalladas. Una perspectiva ecosistémica requiere un enfoque en cómo la pesca puede haber cambiado los componentes del ecosistema. Los documentos de esta reunión señalados en los apartados 2.2 y 2.3 siguientes presentan información sobre la biomasa actual de cada población considerada comparada con lo que hubiera sido en ausencia de la pesca. No hay medidas directas del tamaño de la población antes de que comenzara la pesca y, en todo caso, las poblaciones hubiesen variado entre años. Además, el tamaño de la población sin explotación podría ser afectado por la abundancia de los depredadores y las presas, la cual no es incluida en los análisis de las especies individuales.

2.2. Atunes

En los Documentos SAC-01-07, 08a, y 09 se presenta información sobre los efectos de la pesca sobre los atunes aleta amarilla, patudo, y barrilete. No se tratan los atunes aleta azul del Pacífico y albacora en esta reunión.

2.3. Peces picudos

En el Documento SAC-01-10 se presenta información sobre los efectos de la pesca atunera sobre el marlín rayado. No se tratan el pez espada y otros peces picudos en esta reunión.

2.3.1. Marlín negro, pez vela, y marlín trompa corta

No se han realizado recientemente evaluaciones de las poblaciones de estas especies, pero hay ciertos datos, publicados conjuntamente por científicos del Instituto Nacional de Investigación de Pesquerías de Ultramar (NRIFSF) del Japón y la CIAT en la serie de Boletines de la CIAT, que indican tendencias en las capturas, el esfuerzo, y la captura por unidad de esfuerzo (CPUE).

2.4. Resumen

En las Tablas A-2a y A-2b del Documento [SAC-01-05](#) se presentan las estimaciones preliminares de las capturas (incluyendo descartes de la pesca de cerco), en toneladas, de atunes y peces picudos durante 2009 en el OPO.

2.5. Mamíferos marinos

En el OPO, se encuentran frecuentemente mamíferos marinos, especialmente delfines manchados (*Stenella attenuata*), tornillo (*S. longirostris*), y comunes (*Delphinus delphis*), asociados con atunes aleta amarilla de entre unos 10 y 40 kg. Los pescadores con red de cerco descubrieron que podían lograr las capturas máximas de aleta amarilla en el OPO si cercaran manadas de delfines asociadas con atunes, y luego liberaran los delfines sin dejar al pescado escapar. La mortalidad incidental de delfines en esta operación fue alta en los primeros años de la pesquería, y las poblaciones de delfines fueron reducidas de

sus niveles sin explotación durante las décadas de 1960 y 1970. A partir de fines de la década de los 1980 la mortalidad incidental disminuyó precipitadamente, y ahora hay evidencias de una recuperación de las poblaciones. En la tabla se presenta la estimación preliminar de la mortalidad de delfines ocasionada por la pesca en 2009.

Especie y población	Mortalidad incidental	
	número	toneladas
Delfín manchado de altamar		
Nororiental	264	17
Occidental/sureño	254	17
Delfín tornillo		
Oriental	288	13
Panza blanca	222	13
Delfín común		
Norteño	109	8
Central	30	2
Sureño	49	3
Otros delfines ¹	23	1
Total	1,239	75

Los estudios de la asociación de atunes con delfines forman un componente importante del enfoque a largo plazo del personal para comprender las interacciones clave en el ecosistema. El grado al cual los atunes aleta amarilla y los delfines compiten por recursos, o si uno u otro se beneficia de la interacción, constituyen información crítica, en vista de la gran biomasa de ambos grupos, y su altas tasas de consumo de presas. Análisis de la dieta y de isótopos estables de atunes aleta amarilla y delfines manchado y tornillo capturados en agregaciones multiespecíficas por buques cerqueros en el OPO demuestran diferencias importantes en los hábitos de alimentación y en la posición trófica de las tres especies, lo cual sugiere que la asociación atún-delfín probablemente no es mantenida por ventajas de alimentación. Esta conclusión es apoyada por estudio de rastreo por radio de delfines manchados con grabadoras de tiempo y profundidad, que indican que los delfines se alimentan principalmente de noche con organismos asociados con la capa profunda de dispersión, mientras que estudios de los hábitos de alimentación del atún aleta amarilla señalan una alimentación principalmente diurna.

Durante agosto-diciembre de 2006, científicos del Servicio Nacional de Pesquerías Marinas (NMFS) de EE.UU. realizaron un crucero de investigación como parte del proyecto STAR (*Stenella Abundance Research*). La meta principal de este estudio plurianual es investigar tendencias en el tamaño de las poblaciones de delfines que son capturadas incidentalmente en la pesquería de cerco en el OPO. Se tomaron datos de los estudios de transectos lineales a gran escala sobre la distribución y el tamaño y composición de manadas de cetáceos para estimar la abundancia de los delfines. El estudio de 2006 cubrió las mismas zonas y usó los mismos métodos que los estudios anteriores. Los datos del estudio de 2006 produjeron nuevas estimaciones de abundancia, y se analizaron de nuevo los datos previos para producir estimaciones revisadas, para 10 especies y/o poblaciones de delfines en el OPO entre 1986 y 2006. Las estimaciones de 2006 para el delfín manchado nordeste de altamar fueron algo mayores, y para el delfín tornillo oriental sustancialmente mayores, que aquéllas de los estudios previos en 1998-2000. Las estimaciones de incremento de estas dos poblaciones mermadas, y del delfín manchado costero mermado, podrían indicar que se están recuperando, pero la población del delfín manchado de altamar occidental-sureño podría estar disminuyendo. Las estimaciones de abundancia de los delfines manchado costero, tornillo panza blanca, y de dientes rugosos (*Steno bredanensis*) mostraron una tendencia

¹ "Otros delfines" incluye las siguientes especies y poblaciones, con las mortalidades observadas correspondientes: delfín tornillo centroamericano (*Stenella longirostris centroamericana*), 10 (0,4 t); delfín listado, 5 (0,3 t); delfín manchado costero, 2 (0,2 t); delfín tonina, 1 (0,1 t); delfines no identificados, 5 (0,3 t).

creciente, mientras que aquéllas de los delfines listado (*S. coeruleoalba*), común de hocico corto (*Delphinus delphis*), tonina (*Tursiops truncatus*), y de Risso (*Grampus griseus*), fueron generalmente similares a estimaciones previas obtenidas con los mismos métodos.

Científicos del NMFS han calculado estimaciones de la abundancia de varias otras especies de mamíferos marinos a partir de datos de cruceros de investigación realizados entre 1986 y 2000 en el OPO. Los cruceros STAR de 2003 y 2006 proveerán más estimaciones de la abundancia de estos mamíferos. De las especies no afectadas significativamente por la pesquería atunera, las ballenas piloto de aletas cortas (*Globicephala macrorhynchus*) y tres poblaciones de delfines comunes presentaron tendencias crecientes en abundancia durante esos 15 años. La mayor abundancia aparente de estos mamíferos podría haber causado una disminución en la capacidad de carga del OPO para otros depredadores que comparten su dieta, entre ellos el delfín manchado. La abundancia estimada de la ballena de Bryde (*Balaenoptera edeni*) también aumentó, pero coinciden muy poco las dietas de estas ballenas barbadas y de los depredadores de alto nivel afectados por las pesquerías. La abundancia estimada del delfín listado (*Stenella coeruleoalba*) no demostró ninguna tendencia clara con el tiempo, y las estimaciones de abundancia del cachalote (*Physeter macrocephalus*) han tendido a disminuir en los últimos años.

Ciertos mamíferos marinos son afectados adversamente por la reducción en la disponibilidad de alimento durante eventos de El Niño, especialmente en ecosistemas costeros. Ejemplos documentados incluyen delfines y pinnípedos frente a Perú, pinnípedos en las Islas Galápagos, y ballenas de Bryde frente a Perú. Las ballenas grandes pueden desplazarse en reacción a cambios en la productividad y distribución de sus presas.

2.6. Tortugas marinas

Las tortugas marinas son capturadas en los palangres cuando toman el cebo en los anzuelos, se traban al dar accidentalmente con un anzuelo, o se enredan en una línea. Hay pocas estimaciones de la mortalidad incidental de tortugas causada por la pesca con palangre o red de trasmalle. En la [cuarta reunión del Grupo de Trabajo sobre Captura Incidental de la CIAT](#) en enero de 2004 se informó que la captura incidental de tortugas en la pesquería palangrera japonesa en el OPO en 2000 consistió de 166 tortugas laúd (*Dermochelys coriacea*), de las cuales 25 estaban muertas, y unas 6,000 tortugas de todas las otras especies, principalmente golfinas (*Lepidochelys olivacea*), de las cuales aproximadamente la mitad estaba muerta. En la [sexta reunión del Grupo de Trabajo en febrero de 2007](#), se informó que la flota española de palangre de superficie que pesca pez espada en el OPO tuvo en promedio 65 interacciones y 8 mortalidades por millón de anzuelos durante 1990-2005. Es probable que las tasas de mortalidad sean similares para otras flotas que pescan atún patudo, y posiblemente mayores que aquéllas flotas que pescan albacora y pez espada a menor profundidad. Unos 23 millones de los 200 millones de anzuelos calados cada año en el OPO por buques palangreros de aguas lejanas están dirigidos hacia el pez espada en palangres poco profundos.

Además, hay una flota considerable de buques palangreros artesanales que pescan atunes, peces picudos, tiburones y dorado (*Coryphaena* spp.) en el OPO. Desde 2005, miembros del personal de la CIAT y de otras organizaciones, junto con los gobiernos de varias naciones costeras de Latinoamérica, han participado en un programa para reducir las tasas de enganche y la mortalidad de tortugas marinas en estas pesquerías. En la sección 8.2 se presenta información adicional sobre este programa.

Las tortugas marinas son capturadas ocasionalmente en redes de cerco en la pesquería atunera del OPO. La mayoría de las interacciones ocurren cuando las tortugas se asocian con objetos flotantes, y son capturados cuando el objeto es cercado; en otros casos, una red calada alrededor de un cardumen de atunes no asociados, o un cardumen asociado con delfines, captura tortugas marinas que están presentes. La tortuga golfinas es, por mucho, la especie de tortuga marina capturada con mayor frecuencia por buques cerqueros; la siguen la tortuga verde (*Chelonia mydas*), y, muy ocasionalmente, las tortugas caguama (*Caretta caretta*) y carey (*Eretmochelys imbricata*). Se ha registrado mortalidad de solamente una tortuga laúd en los 10 años en que los observadores de la CIAT registran esta información. Algunas tortugas no

son identificadas por estar demasiado lejos del buque o porque no había suficiente luz para permitir al observador identificarla. A veces las tortugas marinas se enredan en malla debajo de dispositivos agregadotes de peces (plantados) y se ahogan. En unos pocos casos, son sacadas del agua por el aparejo de pesca mientras están enmalladas, y pueden caer de la red de alturas considerables y ser heridas, o ser pasadas por la pasteca hidráulica. Las estimaciones preliminares de la mortalidad de tortugas, en número, causada por buques cerqueros grandes durante 2009, por tipo de lance (sobre objetos flotantes (OBJ), atunes no asociados (NOA), y delfines (DEL)), fueron:

	Tipo de lance			Total
	OBJ	NOA	DEL	
Golfina	9	0	2	11
Verde del Pacífico oriental	1	0	0	1
Caguama	0	0	0	0
Carey	0	0	0	0
Laúd	0	0	0	0
No identificada	2	1	1	4
Total	12	1	3	16

La pesca atunera de cerco es probablemente una causa de mortalidad de tortugas marinas menos importante que otros tipos de actividad humana, entre ellas el aprovechamiento de huevos y adultos, utilización de playas, contaminación, enmalle en detritos en el mar, ingestión de los mismos, y los impactos de otras pesquerías.

Las poblaciones de tortugas golfina, verde, y caguama están designadas como en peligro, y las de carey y laúd como en peligro crítico, por la Unión Mundial para la Conservación de la Naturaleza (UICN).

2.7. Tiburones y otros peces grandes

Los tiburones y otros peces grandes son capturados por buques cerqueros y palangreros. El tiburón jaquetón o sedoso (*Carcharhinus falciformis*) es la especie de tiburón capturada con mayor frecuencia en la pesquería de cerco, seguido por el tiburón oceánico o punta blanca (*C. longimanus*). Las pesquerías palangreras capturan también de tiburones jaquetón, y es necesario un análisis de la pesca palangrera y cerquera en el Pacífico entero para estimar el impacto de la pesca sobre la población. Los índices de abundancia relativa de tiburones jaquetón grandes, basadas en datos de lances cerqueros sobre objetos flotantes, señalan una tendencia decreciente durante 1994-2004; las tendencias son similares en los datos no estandarizados de captura incidental por lances en los dos otros tipos de lance cerquero (no se dispone todavía de datos estandarizados). Las capturas incidentales por lance medias no estandarizadas de tiburones oceánicos también muestran tendencias descendentes para los tres tipos de lance durante el mismo período. Se ignora si dicha tendencia se debe a la captura incidental en las pesquerías, a cambios en el medio ambiente (quizá asociados con el Niño de 1997-1998), o a otros factores. La tendencia decreciente no parece ser debida a cambios en la densidad de los objetos flotantes.

Científicos en la Universidad de Washington realizaron un análisis de la frecuencia temporal de zonas de captura incidental elevada del tiburón jaquetón en los lances cerqueros sobre objetos flotantes, el cual será útil para determinar la eficacia de las vedas de tiempo y zona como método de reducción de la captura incidental de tiburones. Los resultados señalan que tanto las predicciones del modelo como los datos observados suelen indicar que la frecuencia de estas capturas incidentales es máxima al norte de 4°N y al oeste de 100-105°O. Sin embargo, debido a las grandes capturas de atún al sur de 5°N, se lograría la mayor reducción de esta captura incidental con la menor pérdida de captura de atún al norte de aproximadamente 6°N.

Entre mayo de 2007 y junio de 2008 científicos de la CIAT y del NMFS realizaron un proyecto para obtener y archivar muestras de tejido de tiburones, rayas y otros peces grandes, para análisis genéticos. Se están usando los datos de las muestras archivadas en estudios de la estructura de las poblaciones de

estos grupos a gran escala, información esencial para las evaluaciones de las poblaciones y que falta generalmente en todo el Océano Pacífico. Los resultados preliminares de un análisis del tiburón jaquetón indicaron dos poblaciones, una al norte y la otra al sur de la línea ecuatorial.

Una evaluación de la población del tiburón azul (*Prionace glauca*) en el Océano Pacífico Norte ha sido realizada por científicos del NMFS y del NRIFSF. Los resultados preliminares brindan un rango de valores verosímiles del RMS de 1,8 a casi 4 veces la captura anual de la especie en 2001. Una evaluación más reciente, que usó datos de captura y esfuerzo de 1971-2002, señaló una disminución de la abundancia en los años 1980, seguida por una recuperación a un nivel mayor que aquel de 1971. Se supuso que la población de tiburón azul en 2009 estuvo cerca del nivel de RMS y el esfuerzo de pesca podría estar acercándose al nivel de RMS en el futuro.

Las estimaciones preliminares de las capturas (incluidos los descartes de la pesca de cerco), en toneladas, de tiburones y otros peces grandes en el OPO durante 2009 (aparte de aquéllos mencionados en lo anterior) por buques cerqueros grandes son las siguientes. No se dispone de datos completos de buques cerqueros pequeños, palangreros y otros.

	Tipo de lance			Total
	OBJ	NOA	DEL	
Tiburones	431	36	68	535
Rayas (Mobulidae y Dasyatidae)	2	5	17	24
Dorado (<i>Coryphaena</i> spp.)	2,408	12	<1	2,421
Peto (<i>Acanthocybium solandri</i>)	653	<1	<1	654
Salmón (<i>Elagatis bipinnulata</i>) y jurel (<i>Seriola lalandi</i>)	53	46	<1	99
Barrilete negro	1,347	3,869	18	5,233
Bonito	21	9,556	0	9,576
Atunes no identificados	7,829	1,204	363	9,396
Peces picudos no identificados	13	3	5	22
Otros peces grandes	301	100	24	426

Aparte del tiburón azul, no existen evaluaciones de las poblaciones de estas especies en el OPO, y por lo tanto se ignoran los impactos de las capturas incidentales sobre las mismas.

Las tasas de captura de especies aparte de los atunes en la pesquería cerquera son diferentes para cada tipo de lance. Con unas pocas excepciones, las tasas de captura incidental son máximas en lances sobre objetos flotantes, seguidos por lances no asociados y, en un nivel mucho más bajo, lances sobre delfines. Las tasas de captura incidental de delfines son máximas en lances sobre delfines, seguidos por lances no asociados y, en un nivel mucho más bajo, lances sobre objetos flotantes. Las tasas de captura incidental de pez vela (*Istiophorus platypterus*), rayas (Mobulidae), y mantarrayas (Dasyatidae) son máximas en lances no asociados, seguidos por lances sobre delfines, y mínimas en lances sobre objetos flotantes. Debido a estas diferencias, es necesario seguir los cambios en la frecuencia de los distintos tipos de lance para poder interpretar los cambios en las cifras de captura incidental. En la Tabla A-7 del Documento [SAC-01-05](#) se detalla el número estimado de lances cerqueros de cada tipo realizados durante 1994-2009 en el OPO.

En octubre de 2006, el NMFS convocó una reunión técnica sobre la reducción de la captura incidental en la pesquería de cerco en el OPO. Los asistentes acordaron apoyar una propuesta de investigación de métodos para reducir la captura incidental de los tiburones, alejándolos de los objetos flotantes antes de calar la red. Se tiene planeado un estudio de factibilidad. Los asistentes apoyaron también una serie de experimentos de campo sobre aparejos y técnicas para reducir la captura incidental; incluirían modificación y manipulación de los plantados, una evaluación de indicadores de comportamiento y fisiológicos de estrés, y sacar los animales vivos de la red y de la cubierta (por ejemplo, rejas clasificadoras, puertas de burbujas, y bombas de vacío). En una tercera propuesta, asimismo apoyada por

los asistentes, se usarían los datos de la CIAT para determinar si los factores espaciales, temporales, y ambientales pueden ser usados para predecir las capturas incidentales en los lances sobre plantados y para determinar en cuál grado las vedas de temporada o zona serían eficaces para reducir dichas capturas incidentales.

3. OTROS COMPONENTES DEL ECOSISTEMA

3.1. Aves marinas

Hay aproximadamente 100 especies de aves marinas en el OPO tropical. Algunas aves marinas se asocian con depredadores epipelágicos cerca de la superficie del agua, tales como peces (especialmente atunes) y mamíferos marinos. Estos depredadores arrear a las presas a la superficie para atraparles en la interfaz entre el agua y el aire, donde las aves las pueden alcanzar. La mayoría de las especies de aves marinas capturan sus presas a menos de medio metro de la superficie del mar o en el aire (peces voladores (Exocoetidae) y calamares (Ommastrephidae)). Los depredadores subsuperficiales causan que las aves puedan conseguir las presas más fácilmente no sólo al arrearlas a la superficie, sino también al herirlas o desorientarlas y al dejar restos después de alimentarse de presas grandes. Las oportunidades de alimentación de algunas especies de aves marinas dependen de la presencia de cardúmenes de atunes alimentándose cerca de la superficie.

Las aves marinas son afectadas por la variabilidad del ambiente oceánico. Durante el Niño de 1982-1983, las poblaciones de aves marinas en todo el Océano Pacífico tropical y noreste padecieron fracasos de reproducción y mortalidades masivas, o migraron a otros lugares en busca de alimento. Algunas especies, empero, aparentemente no son afectadas por eventos de El Niño. En general, las aves marinas que se alimentan en las zonas de afloramiento del OPO tropical y la Corriente de Perú padecen fracasos de reproducción y mortalidades debido a falta de alimento durante eventos de El Niño, mientras que aquéllas que se alimentan en zonas menos afectadas por El Niño podrían resultar relativamente ilesas.

Según el *Informe del Programa de Investigación Científica bajo la Ley sobre el Programa Internacional para la Conservación de los Delfines de EE.UU.*², preparado por el NMFS en septiembre de 2002, no hubo tendencias temporales significativas en las estimaciones de abundancia del período de 1986-2000 de ninguna especie de ave marina en el OPO tropical, excepto una tendencia decreciente en caso del petrel de Tahití (*Pseudobulweria rostrata*). Se están revisando la condición y las tendencias de las poblaciones de albatros de las Galápagos (*Phoebastria irrorata*), patinegro (*P. nigripes*), y de Laysan (*P. immutabilis*).

Algunas aves marinas, especialmente los albatros y petreles, son susceptibles a la captura en los anzuelos cebados en las pesquerías palangreras pelágicas. Datos de rastreo por satélite y de observaciones en el mar han identificado la importancia del Área de la CIAT para los albatros de las Galápagos, de Laysan, y ojeroso (*Thalassarche melanophrys*), más varias especies que se crían en Nueva Zelanda pero que se alimentan frente a Sudamérica. El albatros de las Galápagos es motivo de preocupación especial, por ser endémico del OPO y anidar únicamente en Galápagos. Los datos de observadores en buques artesanales no indicaron interacciones del albatros de Galápagos con las faenas de pesca de estos buques. Los datos de la pesquería palangrera pelágica de EE.UU. in el Pacífico nordeste indican que ocurren capturas incidentales de albatros patinegro y de Laysan. Se dispone de pocos datos comparables de las pesquerías palangreras en el Pacífico central y sudeste. En la sexta reunión del Grupo de Trabajo en febrero de 2007, se informó que la flota española de palangre de superficie que pesca pez espada en el OPO tuvo en promedio 40 interacciones con aves marinas por millón de anzuelos durante 1990-2005, casi todas de las cuales resultaron en mortalidad. En 2007, el Grupo de Trabajo sobre Evaluaciones de Poblaciones de la CIAT identificó áreas de vulnerabilidad a la pesca industrial de palangre para varias especies de albatros, y propuso medidas de mitigación. En un estudio financiado de fuentes externas, el personal de la CIAT está investigando la condición de la población del albatros patinegro y en Pacífico norte entero, tomando

² *Report of the Scientific Research Program under the U.S. International Dolphin Conservation Program Act*

en cuenta los efectos de la captura incidental en la pesca.

Ciertas aves marinas son susceptibles captura en anzuelos cebados en las pesquerías palangreras pelágicas. Se analizaron datos sobre las capturas incidentales del albatros de patas negras (*Phoebastria nigripes*) por la pesquería palangrera pelágica de EE.UU. en el Pacífico Norte, pero no se dispone de datos comparables para las pesquerías palangreras en el OPO. En un estudio financiado de fuentes externas, el personal de la CIAT está investigando la condición de la población de esta especie en el Pacífico Norte entero, tomando en cuenta los efectos de la captura incidental en la pesca.

3.2. Alimento

Los grupos taxonómicos de alimento que ocupan los niveles tróficos medios en el OPO son obviamente componentes importantes del ecosistema, formando un vínculo entre la producción primaria en la base de la red trófica y los depredadores de nivel trófico superior, como los atunes y peces picudos. Los efectos indirectos sobre estos depredadores causados por la variabilidad ambiental son transmitidos a los niveles tróficos superiores por medio de los grupos taxonómicos de alimento. Sin embargo, se sabe poco acerca de las fluctuaciones en abundancia de la gran variedad de especies de presas en el OPO. Científicos del NMFS registraron datos sobre la distribución y abundancia de grupos de presas comunes, entre ellos peces linterna (Myctophidae), peces voladores, y ciertos calamares, en el OPO tropical durante 1986-1990 y 1998-2000. Las estimaciones de abundancia media de todos los grupos taxonómicos de peces, y en menor grado los calamares, aumentaron durante 1986-1990; fueron bajas de nuevo en 1998, y luego aumentaron hasta 2000. Su interpretación de este patrón fue que los eventos de El Niño en 1986-1987 y 1997-1998 ejercieron efectos negativos sobre estas poblaciones de presas. Durante los cruceros STAR de NMFS en 2003 y 2006 se obtuvieron más datos sobre estos grupos taxonómicos.

El tamaño y la distribución geográfica de las poblaciones del calamar gigante o de Humboldt (*Dosidicus gigas*) en el OPO han aumentado en los últimos años. Además, en 2002 los observadores en buques atuneros de cerco reportaron incrementos de las capturas incidentales de la especie con los atunes, principalmente el barrilete, frente al Perú. Las etapas juveniles de este calamar constituyen una presa común de los atunes aleta amarilla y patudo, y de otros peces depredadores, y el calamar de Humboldt es también un depredador voraz de peces pequeños y de cefalópodos en toda su zona de distribución. Han sido observados atacando a los atunes aleta amarilla y barrilete en una red de cerco. Estos calamares no sólo han afectado los ecosistemas a los cuales se han expandido, sino que se piensa que son capaces de afectar la estructura trófica en las regiones pelágicas. Cambios en la abundancia y distribución geográfica del calamar de Humboldt podrían afectar el comportamiento de alimentación de los atunes y otros depredadores, cambiando quizá su vulnerabilidad a la captura. En la Sección 4 se describe un programa de muestreo del personal de la CIAT para examinar posibles cambios en el comportamiento de alimentación del atún aleta amarilla.

Algunos peces pequeños, muchos de los cuales son alimento para los depredadores más grandes, son capturados por buques cerqueros en el OPO. Las melvas (*Auxis* spp.), por ejemplo, son presas comunes de muchos de los animales que ocupan los niveles tróficos superiores en el OPO tropical. En el modelo del ecosistema del OPO tropical (Sección 7), las melvas forman el 10% a más de la dieta de ocho categorías de depredadores. Pequeñas cantidades de melvas son capturadas por buques cerqueros en alta mar, y por pesquerías artesanales locales en algunas regiones costeras de América Central y del Sur. La gran mayoría de las melvas capturadas por buques atuneros de cerco es descartada en el mar. Las estimaciones preliminares de las capturas (incluidos los descartes de la pesca de cerco), en toneladas, de peces pequeños, por buques cerqueros grandes con observadores a bordo en el OPO durante 2009 son:

	Tipo de lance			Total
	OBJ	NOA	DEL	
Peces ballesta (Balistidae) y cachúas (Monacanthidae)	36	<1	<1	36
Otros peces pequeños	56	<1	<1	57

3.3. Peces larvales y plancton

Desde hace muchos años, el personal del Southwest Fisheries Science Center del NMFS captura peces larvales en el OPO con redes de arrastre de superficie. De las 314 categorías taxonómicas identificadas, se descubrió que 17 tenían la mayor probabilidad de mostrar los efectos de cambios ambientales. La frecuencia, abundancia, y distribución de estos grupos clave no mostró ninguna tendencia temporal consistente. Investigaciones recientes demuestran una pendiente longitudinal en la estructura comunal de los conjuntos de ictioplanctón la charca cálida, con la abundancia, riqueza de especies, y diversidad de especies altas en el este (donde la termoclina es poco profunda y la productividad primaria es alta) y bajas en el oeste (donde la termoclina es profunda y la productividad primaria es baja).

Las poblaciones de fitoplancton y zooplancton en el OPO tropical son variables. Por ejemplo, las concentraciones de clorofila en la superficie del mar (un indicador de afloramientos de fitoplancton) y la abundancia de copépodos fueron reducidas marcadamente durante el Niño de 1982-1983, especialmente al oeste de 120°O. Similarmente, las concentraciones de clorofila en la superficie disminuyeron durante el Niño de 1986-1987 y aumentaron durante la Niña de 1988 debido a cambios en la disponibilidad de nutrientes.

La composición por especies y tamaños del zooplancton es a menudo más variable que la biomasa de zooplancton. Cuando aumenta la temperatura del agua, especies de agua cálida a menudo reemplazan especies de agua fría en lugares particulares. La abundancia relativa de copépodos pequeños frente al norte de Chile, por ejemplo, aumentó durante el Niño de 1997-1998, mientras que la biomasa de zooplancton no cambió.

Los copépodos forman a menudo el componente predominante de la producción secundaria en los ecosistemas marinos. Un estudiante del Centro Interdisciplinario de Ciencias Marinas del Instituto Politécnico Nacional en La Paz (México), realizó un análisis de la estructura trófica entre la comunidad de copépodos pelágicos en el OPO, usando muestras recolectadas por científicos del proyecto STAR del NMFS. Se usaron los valores del isótopo estable de nitrógeno de copépodos omnívoros en un análisis separado de la posición trófica del atún aleta amarilla, tratando los copépodos como sustituto de la variabilidad isotópica en la base de la red alimenticia (ver la sección siguiente).

4. INTERACCIONES TRÓFICAS

Los atunes y peces picudos son depredadores generalistas de gran alcance con requisitos energéticos elevados, y como tal, son componentes clave de los ecosistemas pelágicos. No se entienden bien las relaciones ecológicas entre estos grandes depredadores pelágicos, y entre ellos y los animales de niveles tróficos más bajos. A la luz de la necesidad de evaluar las implicaciones de las actividades de pesca sobre los ecosistemas subyacentes, es esencial adquirir representaciones exactas de los vínculos tróficos y los flujos de la biomasa por la red de alimentación en los ecosistemas del océano abierto, así como conocimientos básicos de la variabilidad natural impuesta por el medio ambiente.

Históricamente, los conocimientos de la ecología trófica de los peces depredadores se basaron en análisis del contenido de los estómagos. Los depredadores pelágicos grandes son considerados muestreadores eficaces de los organismos microneéticos, que son mal muestreados por redes y arrastres. Los estudios de las dietas han descubierto muchos de los vínculos tróficos clave en el OPO pelágico, y han formado la base para la representación de las interacciones de la red de alimentación en un modelo de ecosistema (Boletín de la CIAT, Vol. 22, No. 3) para explorar los efectos indirectos de la pesca sobre el ecosistema. La presa más común de los atunes aleta amarilla capturados por buques cerqueros en alta mar son melvas (*Auxis* spp.), calamares y argonautas (cefalópodos), y peces voladores y otros peces epipelágicos. El atún patudo se alimenta a mayor profundidad que el aleta amarilla y barrilete, y consume principalmente cefalópodos y peces mesopelágicos. Se informó, a fines de los años 1950, que la presa más importante del barrilete fue, en general, los crustáceos eufásidos mientras que a principios de los 1990 el pequeño pez

mesopelágico *Vinciguerria lucetia* pareció predominar en la dieta. Los atunes que se alimentan cerca de la costa utilizan presas diferentes a aquéllos capturados mar afuera. Por ejemplo, atunes aleta amarilla y barrilete capturados frente a Baja California se alimentan fuertemente del cangrejo rojo, *Pleuroncodes planipes*. Más recientemente, los estudios de dieta se han enfocado en entender redes de alimentación enteras, inicialmente con descripciones de las conexiones interespecíficas entre las comunidades de depredadores, formadas por los atunes, tiburones, peces picudos, el dorado, peto, salmón, y otros. En general, es evidente una repartición considerable de recursos entre los componentes de estas comunidades, y los investigadores buscan comprender la escala espacial de los patrones tróficos que se pueden observar, así como la influencia de la variabilidad climática sobre estos patrones.

Mientras que los estudios de la dieta han contribuido mucho a los conocimientos de la materia, los análisis de isótopos estables son un complemento útil al contenido de los estómagos para delinear la estructura compleja de las redes de alimentación marinas. El contenido de los estómagos representa una muestra de solamente las horas más recientes de alimentación en el momento en el que fue capturado el animal, y bajo las condiciones necesarias para su captura. Los isótopos estables de carbono y nitrógeno, en cambio, integran información sobre todos los componentes de la dieta en el tejido del animal, brindando así un historial reciente de las interacciones tróficas e información sobre la estructura y dinámica de las comunidades ecológicas. AA-CSIA (*compound-specific stable isotope analysis*, o análisis de isótopos estables por compuesto) de los aminoácidos brinda una mayor comprensión. En muestras de tejido de consumidores, los aminoácidos “fuente” (por ejemplo, fenilalanina, glicina) retuvieron los valores isotópicos en la base de la red de alimentación, y los aminoácidos “tróficos” (por ejemplo, ácido glutámico) fueron enriquecidos en ^{15}N aproximadamente un 7‰ con respecto a la línea de referencia. En AA-CSIA, el tejido de los depredadores por sí mismo es suficiente para estimaciones de la posición trófica, y no es necesario un análisis separado de la composición isotópica de la base de la red de alimentación. Un análisis reciente de la distribución espacial de los valores de los isótopos estables del atún aleta amarilla en relación con aquéllos de los copépodos indicó que la posición trófica del atún aleta amarilla aumentó con distancia de la costa en el OPO, una característica de la red de alimentación nunca detectada en la dieta. Los datos de dieta de las mismas muestras de aleta amarilla analizadas para el contenido isotópico mostraron una variabilidad comparable en la posición trófica del aleta amarilla, pero no mostraron una pendiente de la posición trófica con distancia de la costa.

Durante 2006 se realizó un estudio a corto plazo para examinar el contenido del estómago de atunes aleta amarillas recién capturados, con el objeto de detectar posibles cambios en su comportamiento de alimentación con respecto a aquél de años anteriores. Las evaluaciones de poblaciones de especies individuales no están diseñadas para considerar el efecto de las interacciones tróficas (por ejemplo, depredación, competencia, y cambios en la estructura trófica) sobre la población en cuestión. Las poblaciones de presas que alimentan a los depredadores ápice también cambian con el tiempo (ver 3.2, Alimento), y algunas presas ejercen una presión de depredación considerable sobre los animales que ocupan los niveles tróficos más bajos (incluyendo las etapas tempranas de vida de los peces grandes). Muestras de estómago de un depredador ubicuo, como el atún aleta amarilla, comparadas con datos de dieta previos, pueden ser usadas para inferir cambios en las poblaciones de presas mediante la identificación de cambios en el comportamiento de alimentación. Cambios en el comportamiento de alimentación podrían causar que los atunes, por ejemplo, cambiasen su distribución típica de profundidad mientras se alimentan, y esto podría afectar su vulnerabilidad a la captura. Las muestras de estómago de los aletas amarillas fueron obtenidas de lances cerqueros sobre atunes asociados con delfines durante el cuarto trimestre de 2006, y comparadas con muestras de lances sobre delfines realizados durante 2003-2005 en la misma zona de pesca. De interés especial fueron las diferencias interanuales en la depredación sobre el calamar de Humboldt debido a cambios recientes en su abundancia y distribución geográfica (ver 3.2 Alimento). La cantidad de tejido fresco de calamar en los estómagos de los aletas amarillas fue muy baja, y no hubo diferencias de año en año en las proporciones en la dieta por peso. Las mandíbulas (o picos) de los cefalópodos son retenidas en el estómago, y la frecuencia porcentual de las mandíbulas de calamares de Humboldt disminuyó un 21% entre 2004 y 2006. Las diferencias interanuales en la

depredación sobre otros componentes de la dieta fueron pequeñas. La cantidad de *Auxis* spp. consumida fue significativamente mayor ($p < 0.05$) en 2005 y 2006 que en 2003 y 2004, y en 2006 el consumo de la sardineta plumilla (*Harengula thrissina*) y el estornino (*Scomber japonicus*) fue significativamente mayor que en los tres años anteriores. En general, no existe evidencia convincente de que hayan ocurrido cambios sustanciales en la estructura trófica durante 2003-2006, a partir de los hábitos de alimentación de los atunes aleta amarilla capturados en asociación con delfines.

5. AMBIENTE FÍSICO³

Las condiciones ambientales afectan a los ecosistemas marinos, la dinámica y capturabilidad de los atunes y peces picudos, y las actividades de los pescadores. Los atunes y peces picudos son pelágicos durante todas las etapas de la vida, y los factores físicos que afectan al Océano Pacífico tropical y subtropical pueden ejercer efectos importantes sobre su distribución y abundancia. Se cree que las condiciones ambientales causan una variabilidad considerable en el reclutamiento de los atunes y peces picudos. Las evaluaciones de las poblaciones realizadas por la CIAT a menudo han incorporado el supuesto que las condiciones oceanográficas podrían afectar el reclutamiento en el OPO.

Distintos tipos de perturbaciones climáticas podrían afectar la pesca de distintas formas. Se cree que una termoclina poco profunda en el OPO contribuye al éxito de la pesca atunera de cerco, actuando tal vez de barrera térmica para los cardúmenes de atunes pequeños, manteniéndolos cerca de la superficie del agua. Cuando la termoclina se hunde, como durante un evento de El Niño, los atunes parecen ser menos vulnerables a la captura, y las tasas de captura disminuyen. Temperaturas superficiales del mar (TSM) cálidas o frías pueden asimismo causar que estos peces móviles se desplacen a un hábitat más favorable.

El ambiente oceánico varía en una variedad de escalas temporales, de estacional a interanual, decadal, y mayores (por ejemplo, fases o regímenes climáticos). La causa dominante de variabilidad en las capas superiores del OPO es denominada a menudo El Niño-Oscilación del Sur (ENOS). El ENOS es una fluctuación irregular que afecta al Océano Pacífico tropical entero y la atmósfera global. Resulta en variaciones de los vientos, la precipitación, profundidad de la termoclina, circulación, productividad biológica, y la alimentación y reproducción de peces, aves y mamíferos marinos. Los eventos de El Niño ocurren a intervalos de entre 2 y 7 años, y son caracterizados por vientos alisios más débiles, una termoclina más profunda, y TSM anormalmente elevadas en el OPO ecuatorial. La fase contraria de El Niño, denominado comúnmente La Niña, es caracterizada por vientos alisios más fuertes, una termoclina menos profunda, y TSM más bajas. La investigación ha documentado una conexión entre el ENOS y la tasa de producción primaria, la biomasa de fitoplancton, y la composición por especies del fitoplancton. Durante los episodios de El Niño disminuye el afloramiento de agua subsuperficial, rica en nutrientes, lo cual lleva a una reducción notoria en la producción primaria y secundaria. El ENOS también afecta directamente a los animales en los niveles tróficos medianos y altos. Los investigadores han concluido que el Niño de 1982-1983, por ejemplo, incrementó la profundidad de la termoclina y nutriclina, redujo la producción primaria, redujo la abundancia de zooplancton, y al final redujo las tasas de crecimiento, el éxito reproductivo, y la supervivencia de varias aves, mamíferos, y peces en el OPO. Sin embargo, en general los habitantes del océano se recuperan en períodos cortos, porque su ciclo vital está adaptado para responder a un hábitat variable.

La CIAT informa trimestralmente de los datos oceanográficos y meteorológicos mensuales medios del OPO, incluyendo un resumen de las condiciones actuales del ENOS. Las condiciones leves de La Niña que se desarrollaron durante el cuarto trimestre de 2008 continuaron en el primer trimestre de 2009. Durante el segundo trimestre de 2009, las TSM estuvieron en su mayoría por encima de lo normal, y la profundidad de la termoclina aumentó. Las TSM fueron todas mayores que el nivel normal durante el tercer y cuarto trimestre de 2009. En diciembre de 2009, el Servicio Meteorológico Nacional de EE.UU.

³ Gran parte de la información en esta sección proviene de Fiedler, P.C. 2002. *Environmental change in the eastern tropical Pacific Ocean: review of ENOS and decadal variability*. Mar. Ecol. Prog. Ser. 244: 265-283.

esperaba que el Niño “ejercería una influencia importante sobre el tiempo y clima globales en los próximos meses.”

La variabilidad a escala decadal (o sea, de 10 a 30 años) también afecta al OPO. A fines de la década de 1970 ocurrió en el Pacífico Norte un cambio importante en las condiciones físicas y biológicas. Este cambio de clima fue detectado en el OPO tropical también, mediante pequeños aumentos de las TSM, un debilitamiento de los vientos alisios, y un cambio moderado en los niveles de clorofila en la superficie. Algunos investigadores han reportado otro cambio importante en el Pacífico Norte en 1989. La variabilidad en el océano causada por el clima ha sido descrita a menudo en términos de “regímenes” caracterizados por promedios y patrones relativamente estables en las variables físicas y biológicas. Análisis realizados por el personal de la CIAT indican que el atún aleta amarilla en el OPO ha pasado por regímenes de reclutamiento bajo (1975-1982) y alto (1983-2001), y posiblemente otro intermedio (2002-2006). Se cree que el mayor reclutamiento durante 1983-2001 se debe a un cambio a un régimen de productividad más alta en el Océano Pacífico. Las fluctuaciones decadales en el afloramiento y transporte de agua son simultáneas con el patrón de ENOS más frecuentes y tienen efectos en toda la cuenca sobre las TSM y la pendiente de la termoclina que son similares a los que causa el ENOS, pero a escala temporal mayor.

Existen evidencias que el Océano Pacífico Norte se encuentra actualmente en un régimen frío, mientras que no son aparentes evidencias similares en el caso del Pacífico ecuatorial.

La variabilidad ambiental en el OPO tropical es manifestada de forma diferente en las diferentes regiones donde se capturan los atunes. Por ejemplo, las anomalías de la TSM en la zona cálida del OPO (5° a 20°N, al este de 120°O) han ocurrido con la mitad de la magnitud y varios meses después de aquéllas en el área NIÑO3 en el Pacífico ecuatorial (5°S a 5°N, 90° a 150°O).

6. INDICADORES AGREGADOS

El reconocimiento de las consecuencias de la pesca para los ecosistemas marinos ha fomentado una investigación considerable en los últimos años. Han sido propuestos numerosos objetivos para evaluar los impactos de la pesca sobre los ecosistemas y para definir la sobrepesca desde una perspectiva ecosistémica. Mientras que se han usado los puntos de referencia principalmente para la ordenación de especies objetivo individuales, se cree que un primer paso factible sería aplicar medidas de desempeño y puntos de referencia a especies no objetivo. Ejemplos actuales incluyen límites de mortalidad incidental de delfines en la pesquería cerquera del OPO bajo el APICD. Otra área de interés es la posibilidad de elaborar indicadores útiles de desempeño basados en propiedades a nivel de ecosistema. Han sido propuestos varios indicadores de ecosistema, entre ellos la estructura del tamaño de la comunidad, índices de diversidad, riqueza y uniformidad de especies, índices de solape, espectros tróficos de la captura, abundancia relativa de una especie o un grupo indicador, y numerosos indicadores ambientales. Se opina generalmente que se debería usar indicadores múltiples a nivel de sistema, pero existen dudas sobre la suficiencia de los conocimientos prácticos de la dinámica de estos indicadores, y sobre la existencia de un fundamento teórico para identificar puntos de referencia precautorios o límite basados en las propiedades de los ecosistemas. El uso de indicadores basados en ecosistemas para la ordenación de pesquerías todavía no es común.

Nuevos métodos de ordinación, elaborados por científicos del Instituto de Matemática Estadística en Tokio (Japón), han producido índices de asociación relacionados con distintas agrupaciones de especies de captura y de captura incidental en los lances sobre objetos flotantes en la pesca de cerco. Los índices preliminares señalan patrones espaciales claros a gran escala, y relaciones con variables ambientales, tales como TSM, densidad de clorofila-a, y profundidad de la capa de mezcla. Información sobre las relaciones entre índices de asociación de especies y características ambientales podrían ayudar a guiar el desarrollo de métodos para reducir la captura incidental.

Los enfoques ecosistémicos a la ordenación de la pesca ponen énfasis de nuevo en lograr representaciones

fieles de los vínculos tróficos y los flujos de biomasa por la red alimenticia en los sistemas explotados. La estructura de la red alimenticia y las interacciones entre sus componentes desempeñan un papel demostrable en la determinación de la dinámica y productividad de los ecosistemas. En la ecología de las redes tróficas se usan los niveles tróficos (TL) para caracterizar el papel funcional de los organismos, para facilitar las estimaciones del flujo de energía o masa por las comunidades, y para elucidar aspectos de la trofodinámica del funcionamiento de los ecosistemas. En la Figura 1 se presenta un diagrama simplificado, con NT aproximados, de la red trófica del OPO tropical pelágico. Las ballenas dentadas (Odontoceti, NT medio 5.2), depredadores de calamar grande (atún patudo grande y pez espada, NT medio 5.2) y tiburones (NT medio 5.0) son depredadores ápice. Los otros atunes y peces piscívoros grandes, delfines (NT medio 4.8), y aves marinas (NT medio 4.5) ocupan NT ligeramente más bajos. Peces epipelágicos menores (melvas y peces voladores (NT medio 3.2), por ejemplo), cefalópodos (NT medio 4.4), y peces mesopelágicos (NT medio 3.4) son el alimento principal de muchos de los depredadores de alto nivel en el ecosistema. Los peces pequeños y crustáceos se alimentan de dos grupos de zooplancton, y el microzooplancton herbívoro (NT 2) se alimenta de los productores, fitoplancton y bacterias (NT 1).

En los ecosistemas pelágicos explotados, las pesquerías dirigidas hacia peces piscívoros grandes funcionan de depredadores ápice del ecosistema. Con el tiempo, la pesca puede causar una disminución de la composición por tamaño general de la captura, y en general, los NT de los organismos pequeños son más bajos que los de los más grandes. El NT medio de los organismos capturados por una pesquería es un indicador útil de cambios en el ecosistema y de su sustentabilidad, porque integra una variedad de información biológica sobre los componentes del mismo. Se está prestando mayor atención al análisis del NT medio de las capturas y descartes de la pesca desde que un estudio demostró que, según estadísticas de descargas de FAO, el NT medio de los peces e invertebrados descargados a nivel mundial disminuyó entre 1950 y 1994, y la hipótesis de los autores del estudio es que esto perjudica los ecosistemas. Sin embargo, algunos ecosistemas han cambiado en la otra dirección, de comunidades de NT bajo a comunidades de NT más alto. En vista de la utilidad potencial de este enfoque, se estimaron los NT de una serie de tiempo de capturas y descartes anuales por especie desde 1993 hasta 2008 para tres modalidades de pesca cerquera y la pesquería cañera en el OPO. Se calcularon las estimaciones mediante la aplicación de los NT del modelo de ecosistema del OPO (Sección 7), ponderados por los datos de captura por pesquería y año correspondientes a todos los grupos del modelo de las bases de datos de la CIAT de atún, captura incidental, y descartes. Se determinaron los NT del modelo ecosistémico mediante estimaciones de la dieta media de todos los grupos de especies. Los NT de las capturas sumadas de todas las pesquerías de cerco y de caña fueron bastante constantes de año a año, con menos de un 0.1 NT de variación (Figura 2: promedio PS-LP). Una leve tendencia decreciente de los lances no asociados, equivalente a 0,4 TL durante el período de 16 años, fue estadísticamente significativo ($p < 0,001$). No obstante, no es considerada una tendencia ecológicamente perjudicial porque fue causada por proporciones crecientes de barrilete en la captura con el tiempo. Las capturas de aleta amarilla grande (≥ 90 cm, NT 4.66), barrilete (NT 4.57), aleta amarilla pequeño (< 90 cm, NT 4.57), y patudo grande (≥ 80 cm, NT 5.17) contribuyeron el 36, 34, 19, y 6%, respectivamente, al NT general (4.63) durante 1993-2008. Las capturas retenidas y descartadas de todas las otras especies y grupos contribuyeron menos del 5% del NT general de las capturas, incluyendo el patudo pequeño (4.7%, NT 4.53) y todas las especies de captura incidental. En general, los NT de los lances no asociados y la pesquería de caña fueron inferiores al promedio, y aquéllos de los lances sobre delfines superiores al promedio en la mayoría de los años (Figura 2). Los NT de los lances sobre objetos flotantes variaron más que los de los otros tipos de lance y las otras pesquerías, debido principalmente a la variabilidad interanual en las cantidades del patudo y barrilete capturadas en esos lances. Los NT de los lances sobre objetos flotantes estuvieron positivamente relacionados con el porcentaje de la captura total formado por patudo grande ($p < 0.001$) y negativamente relacionado con el porcentaje de la captura formado por barrilete ($p < 0.001$) (Figura 3).

Se estimaron también por separado NT para la serie de tiempo de capturas retenidas y descartadas de la pesquería de cerco en cada año del período de 1993 a 2008 (Figura 4). Las capturas descartadas fueron

mucho menores que las capturas retenidas, y por lo tanto los patrones de los NT de las capturas totales (retenidos más descartadas) (Figura 2) fueron determinados principalmente por los NT de las capturas retenidas (Figura 4). Los NT de las capturas descartadas variaron más entre años que aquéllos de las capturas retenidas, debido a la diversidad de especies en las capturas incidentales. La disminución considerable de los NT de los descartes en los lances sobre delfines durante el período de 16 años (Figura 4) está relacionada con una reducción de las mortalidades de delfines y los descartes de atún aleta amarilla. En el caso de los lances no asociados, la disminución notoria del NT durante 1997 se debió a una mayor captura incidental de rayas (NT 3.68), que se alimentan de plancton y otros animales pequeños que ocupan NT bajos, y una disminución de las capturas de tiburones grandes (NT 4.93), y un aumento de los peces presa (por ejemplo, Clupeiformes, Nomeidae, Tetraodontiformes, y *Auxis* spp.; NT 3,19-3,86) en la captura incidental. Desde 1997 hasta 2001, las capturas descartadas de rayas disminuyeron paulatinamente en los lances no asociados y aquéllas de tiburones grandes y aletas amarillas pequeños aumentaron, resultando en un aumento progresivo de los NT de las capturas descartadas durante ese intervalo. En el caso de los lances sobre objetos flotantes, los descartes de patudo están relacionados con NT más altos.

7. EVALUACIÓN DE RIESGOS ECOLÓGICOS

La sustentabilidad ecológica a largo plazo es un requisito de la ordenación ecosistémica de la pesca. La pesca afecta las poblaciones de no sólo las especies objetivo, sino también las especies capturadas incidentalmente. La vulnerabilidad a la sobrepesca de muchas de las poblaciones capturadas incidentalmente en las pesquerías atuneras del OPO es desconocida, y los datos biológicos y de pesca de la mayoría de esas poblaciones son muy escasos. Para el presente análisis, se define la vulnerabilidad como el potencial de reducción de la productividad de una población por presión de pesca directa e indirecta. El personal de la CIAT está evaluando métodos establecidos para determinar la vulnerabilidad de especies no objetivo para los que se cuenta con pocos datos.

Una versión del análisis de productividad y susceptibilidad (PSA)⁴, usado para evaluar otras pesquerías en años recientes, considera la vulnerabilidad de una población como una combinación de su productividad y su susceptibilidad a la pesca. La productividad de una población es la capacidad de la misma de recuperarse si es mermada, y es una función de los rasgos del ciclo vital de la especie. La susceptibilidad de una población es el grado al cual una pesquería puede ejercer un efecto negativo sobre una población, es decir, la propensión de una especie de ser capturada por una pesquería, y padecer mortalidad a causa de la misma. Los índices de productividad y susceptibilidad de una población son determinados mediante la derivación de una puntuación de entre 1 (baja) y 3 (alta) para un conjunto estandarizado de atributos relacionados con cada índice. Las puntuaciones individuales de los atributos son entonces promediadas para cada factor y presentados en una gráfica de dispersión x-y. Se usaron diez atributos de productividad y doce de susceptibilidad en el PSA¹ reciente. Al puntuar los atributos, se evaluó la calidad de los datos asociados con cada puntuación de un atributo, y se ponderaron los atributos por la puntuación de calidad de los datos. Se consideró que las poblaciones que recibieron una puntuación de productividad (*p*) baja y una puntuación de susceptibilidad (*s*) alta corren un alto riesgo de ser mermados, mientras que las poblaciones con un puntuación de productividad alta y una puntuación de susceptibilidad baja corren un riesgo bajo. Las puntuaciones de vulnerabilidad (*v*) fueron calculadas a partir de las puntuaciones *p* y *s* como la distancia euclidiana desde el origen de la gráfica de dispersión x-y y el punto de dato:

$$v = \sqrt{p - 3}^2 + s - 1}^2$$

A fin de examinar la utilidad de los índices de productividad y susceptibilidad para evaluar la

⁴ Patrick, W.S., P. Spencer, J. Link, J. Cope, J. Field, D. Kobayashi, P. Lawson, T. Gedamke, E. Cortés, O. Ormseth, K. Bigelow, and W. Overholtz. 2010. Using productivity and susceptibility indices to assess the vulnerability of United States fish stocks to overfishing. Fish. Bull. U.S. 108: 305-322.

vulnerabilidad de poblaciones de peces, tortugas, y mamíferos a la sobrepesca, se realizó una evaluación preliminar de tres « pesquerías » de cerco en el OPO. Se enfocó el PSA preliminar en 26 especies (Tabla 1) que formaban la mayor parte de la biomasa extraída por los buques de cerco de más de 363 toneladas métricas de capacidad de acarreo durante 2005-2009. Nueve atributos de productividad y ocho de susceptibilidad se basaron en el PSA previo, y algunas fueron modificadas para mayor consistencia con las pesquerías atuneras en el OPO. En las Tablas 2 y 3 se presentan los atributos de productividad y susceptibilidad y los umbrales de puntuación usados en el PSA preliminar de la CIAT.

Se compiló información correspondiente a los atributos de productividad de cada especie de una variedad de fuentes en la literatura publicada en inédita y de datos de pesca del OPO (o sea, no adoptados de PSA previos) para un mejor ajuste a la distribución de las características del ciclo vital observadas en las especies presentes en el OPO. Se derivaron los umbrales de puntuación para los atributos de productividad (Tabla 2) al dividir los datos compilados en percentiles de un tercio. Los criterios de puntuación para los atributos de susceptibilidad (Tabla 3) fueron tomados del PSA¹ previo, modificados en casos apropiados para un mejor ajuste a las pesquerías del OPO. Se promediaron entonces las puntuaciones de cada índice. En las Figuras 5 a 7 se presentan gráficas de dispersión de las puntuaciones promediadas de productividad y susceptibilidad correspondientes a subconjuntos de las 26 especies capturadas por tres pesquerías de cerco: sobre delfines, sobre atunes no asociados, y sobre objetos flotantes. La escala del eje x en las figuras está invertida porque las especies/poblaciones con una puntuación de productividad alta y una puntuación de susceptibilidad baja (o sea, al origen de las gráficas) son consideradas las menos vulnerables.

En general, algunos de los tiburones, la mantarraya gigante, y los delfines tuvieron las puntuaciones de productividad más bajas. Los atunes y algunos de los « peces grandes » (Tabla 1) tuvieron las puntuaciones de productividad más altas. La tortuga golfina, la cornuda gigante, y el tiburón zorro ojón en lances sobre objetos flotantes tuvieron las puntuaciones de susceptibilidad más bajas, mientras que el jurel voraz, el medregal rabo amarillo en lances no asociados, y el marlín negro en lances sobre objetos flotantes tuvieron las puntuaciones de susceptibilidad más altas. En términos de la vulnerabilidad general a la sobrepesca (ecuación previa), algunos de los tiburones y la mantarraya en lances sobre delfines tuvieron las puntuaciones más altas.

Se aconseja cautela en la interpretación de este PSA preliminar en el caso de los tiburones jaquetón y oceánico. El análisis indica que el jaquetón es más vulnerable a la sobrepesca en los lances sobre delfines y no asociados (Figuras 5 y 6), y el tiburón oceánico más vulnerable en los lances sobre delfines, que en los lances sobre objetos flotantes (Figura 7). Esto se debe a puntuaciones de susceptibilidad más altas para aquellos tiburones en el índice de traslapo zonal-concentración geográfica y retención porcentual de la captura incidental (“Deseabilidad/valor de la captura,” Tabla 3) en los lances sobre delfines que en las otras pesquerías. Este resultado es engañoso, ya que solamente el 3% y 8% de la captura incidental acumulativa (en número de individuos) de tiburones jaquetón y oceánico, respectivamente, registrada durante 2005-2009 fue capturado en lances sobre delfines (Tabla 1). Los lances sobre objetos flotantes, que produjeron el 93% y 91% de la captura incidental de tiburones jaquetón y oceánico, respectivamente, (Tabla 1) tienen evidentemente el potencial de producir el mayor impacto sobre estos tiburones en el OPO.

El personal de la CIAT piensa continuar la evaluación de riesgos ecológicos para el OPO. El PSA será mejorado y ampliado más allá del análisis preliminar aquí descrito, e incluirá más de las pesquerías que operan en el OPO. Además, se explorarán otros tipos de evaluación de riesgos ecológicos.

8. MODELADO DE ECOSISTEMAS

Es evidente que los distintos componentes de un ecosistema interactúan. La ordenación ecosistémica de la pesca es facilitada por la elaboración de modelos ecosistémicos multiespecíficos que representan las interacciones ecológicas entre las especies o gremios. Nuestros conocimientos del complicado laberinto de conexiones en los ecosistemas del océano abierto están en su etapa temprana, y, por lo tanto, la mayor

utilidad de los modelos de ecosistema actuales es como instrumentos descriptivos para explorar los efectos de una mezcla de hipótesis y conexiones establecidas entre los componentes del ecosistema. Los modelos de ecosistema necesitan mantener un equilibrio entre representaciones simplistas por un lado y una complejidad imposible de manejar por el otro.

El personal de la CIAT ha desarrollado un modelo del ecosistema pelágico en el OPO tropical (Boletín de la CIAT, Vol. 22, No. 3) para explorar cómo la pesca y la variación climática podrían afectar los animales en los niveles tróficos medianos y altos. El modelo tiene 38 componentes, entre ellos las principales especies explotadas (atunes, por ejemplo), grupos funcionales (tiburones y peces voladores, por ejemplo), y especies sensibles (tortugas marinas, por ejemplo). Algunos grupos taxonómicos están subdivididos en categorías (marlines grandes y pequeños, por ejemplo). La resolución taxonómica del modelo es más fina en los niveles tróficos superiores, pero la mayor parte de la biomasa del sistema está en los niveles tróficos medianos y bajos. Se estimaron las descargas y descartes para cinco “artes” de pesca: caña, palangre, y tres tipos de lances cerqueros: sobre atunes asociados con delfines, con objetos flotantes, y no asociados. El modelo está enfocado en las regiones pelágicas; no describe adecuadamente los ecosistemas locales costeros.

La mayor parte de la información que describe las interacciones interespecíficas en el modelo proviene de un proyecto conjunto CIAT-NMFS, el que incluyó estudios de los hábitos alimenticios de atunes aleta amarilla, barrilete, y patudo, delfines, tiburones pelágicos, peces picudos, dorados, petos, salmones, y otros. El objetivo del proyecto fue contribuir a los conocimientos de la asociación atún-delfín, y se adoptó un diseño de muestreo a nivel de comunidad.

Se usó el modelo de ecosistema para evaluar los posibles efectos de variabilidad en los procesos forzados desde abajo por el medio ambiente sobre los niveles tróficos medianos y altos del ecosistema pelágico. Se incorporaron en el modelo series de tiempo predeterminadas de biomasa de productores para aproximar los cambios en la producción primaria documentados durante eventos de El Niño y La Niña, y se simuló la dinámica de los demás componentes del ecosistema. Se usó el modelo también para evaluar las contribuciones relativas de la pesca y el medio ambiente en la formación de la estructura del ecosistema en el OPO pelágico tropical. Se hizo esto usando el modelo para predecir cuáles componentes del ecosistema podrían ser susceptibles a efectos de la pesca de arriba hacia abajo, dada la importancia aparente de la variabilidad ambiental en la estructuración del ecosistema. En general, los animales con tasas de cambio relativamente bajas fueron afectados más por la pesca que por el medio ambiente, y aquéllos con tasas relativamente altas más por el medio ambiente que por la pesca.

9. ACCIONES DE LA CIAT Y EL APICD RELATIVAS A CONSIDERACIONES DE ECOSISTEMA

Tanto la Convención de la CIAT como el APICD tienen objetivos que versan sobre la incorporación de consideraciones de ecosistema en la ordenación de las pesquerías atuneras en el OPO. Acciones tomadas en el pasado incluyen:

9.1. Delfines

- a. Desde hace muchos años se evalúa el impacto de la pesquería sobre las poblaciones de delfines, y los programas para reducir o eliminar ese impacto han tenido un éxito considerable.
- b. Se ha limitado la mortalidad incidental de todas las poblaciones de delfines a niveles insignificantes con respecto al tamaño de las poblaciones.

9.2. Tortugas marinas

- a. Se ha compilado una base de datos sobre todos los avistamientos, capturas, y mortalidades de tortugas marinas reportadas por observadores.
- b. En junio de 2003, la CIAT adoptó una *Recomendación sobre tortugas marinas*, en la que se contempla “el desarrollo de un programa de tres años que podría incluir la reducción de capturas

incidentales de tortugas marinas, investigaciones biológicas de tortugas marinas, perfeccionamiento de artes de pesca, educación de la industria y otras técnicas para mejorar la conservación de tortugas marinas.” En enero de 2004, el Grupo de Trabajo sobre Captura Incidental propuso un programa detallado que incluye todos estos elementos e insta a todas las naciones con buques que pescan atunes en el OPO a que provean a la CIAT información sobre interacciones de las pesquerías con tortugas marinas en el OPO, incluyendo capturas tanto incidentales como directas, y otros impactos sobre las poblaciones de tortugas marinas. En junio de 2004, la CIAT adoptó la [Resolución C-04-07](#) sobre un programa de tres años para mitigar el impacto de la pesca atunera sobre las tortugas marinas; incluye disposiciones sobre la toma de datos, medidas de mitigación, educación de la industria, fomento de capacidad, e informes.

- c. La [Resolución C-04-05](#), adoptada por la CIAT en junio de 2004, contiene disposiciones relativas a la liberación y tratamiento de tortugas marinas capturadas en redes de cerco. Prohíbe también a los buques desechar bolsas y otra basura plástica en el mar, y encarga al Director estudiar y formular recomendaciones acerca del diseño de plantados, particularmente el uso de malla de red sujeta bajo el agua a los mismos.
- d. La [Resolución C-07-03](#), adoptada por la CIAT en junio de 2007, contiene disposiciones acerca de la instrumentación de programas de observadores en pesquerías bajo el amparo de la Comisión que podrían ejercer un efecto sobre las tortugas marinas y actualmente no son acatadas. La resolución exige que los pescadores fomenten la recuperación y reanimación de tortugas marinas de caparazón duro comatosas o inactivas antes de devolverlas al agua. Se dirige a las CPC con buques de cerco o palangre que pesquen especies abarcadas por la Convención de la CIAT en el OPO evitar a evitar encuentros con las tortugas marinas, reducir las mortalidades mediante el uso de una variedad de técnicas, y realizar investigaciones sobre la modificación de los diseños de los plantados y las artes de palangre y las prácticas de pesca.
- e. En respuesta a una solicitud de la Subsecretaría de Recursos Pesqueros del Ecuador, un programa fue establecido por World Wildlife Fund, la CIAT, y el gobierno de Estados Unidos, para mitigar la captura incidental y reducir la mortalidad de tortugas marinas causadas por la pesca con palangre. Un elemento clave de este programa es la comparación de las tasas de captura de atunes, peces picudos, tiburones, y dorado capturados con anzuelos J con las tasas de captura con anzuelos circulares. Los anzuelos circulares no enganchan tantas tortugas como los anzuelos J, usados tradicionalmente en la pesca palangrera, y la probabilidad de herir gravemente a las tortugas que muerden los anzuelos circulares es menor porque son más anchos y suelen engancharse en la mandíbula inferior, en lugar de internarse en el esófago y otras áreas, evento más peligroso y más común con los anzuelos J. Se difundieron además a las flotas palangreras de la región procedimientos y herramientas para liberar tortugas marinas enganchadas y enmalladas.

Al fin de 2008, el programa de intercambio de anzuelos y de observadores, que comenzó en Ecuador en 2003, fue activo en Colombia, Costa Rica, Ecuador, El Salvador, Guatemala, México, Nicaragua, Panamá, y Perú, y está en desarrollo en Chile, con talleres en muchos puertos. El programa en Ecuador se está realizando en conjunto con el gobierno y la Overseas Fishery Cooperation Foundation del Japón, mientras que en los otros países es financiado por agencias de EE.UU. Los resultados iniciales señalan que, en las pesquerías dirigidas hacia los atunes, peces picudos y tiburones, ocurrió una reducción importante en las tasas de enganche de las tortugas marinas con los anzuelos circulares, y que menos anzuelos se alojaron en el esófago u otras áreas perjudiciales para las tortugas. Las tasas de captura de las especies objetivo son, en general, similares a aquellas de los anzuelos J. Se realizó también un experimento en la pesquería de dorado con anzuelos circulares más pequeños; las tasas de enganche de tortugas disminuyeron, pero menos que en las pesquerías de atunes, peces picudos y tiburones. Además, miembros del personal de la CIAT y otros dirigieron talleres e hicieron presentaciones en todos los países que participan en el programa.

9.3. Aves marinas

- a. La [Resolución C-05-01](#), adoptada por la CIAT en junio de 2005, recomienda que las Partes de la CIAT y las no Partes, entidades pesqueras u organizaciones regionales de integración económica cooperantes (CPC) apliquen, en caso apropiado, el *Plan de Acción Internacional para reducir las capturas incidentales de aves marinas en la pesca con palangre* de la FAO; que recopilen y presenten a la Comisión información sobre las interacciones con aves marinas; y que el Grupo de Trabajo sobre las Evaluaciones de las Poblaciones presente a la Comisión una evaluación del impacto de la captura incidental de aves marinas resultante de las actividades de los buques que pescan atunes y especies afines en el OPO. Dicha evaluación debería incluir la identificación de las áreas geográficas en las que pudieran ocurrir interacciones entre la pesca palangrera y aves marinas
- b. La sexta reunión del Grupo de Trabajo de la CIAT sobre Captura Incidental recomendó que el Grupo de Trabajo sobre la Evaluación de Poblaciones sugiriese posibles medidas de mitigación en áreas en las que coinciden las distribuciones de aves marinas y esfuerzo palangrero, y que la CIAT considerase medidas de mitigación en su reunión en junio de 2007. Recomendó también que se obtuviesen datos sobre la captura incidental de aves marinas de todos los buques palangreros atuneros en el OPO.
- c. Se está elaborando un modelo de población para el albatros patinegro, a fin de evaluar la probabilidad de que los niveles actuales y pasados de captura incidental afecten de forma significativa las poblaciones de la especie, y generar un modelo de especie protegida que pueda ser aplicado a varias especies y usado para proveer asesoramiento sobre la ordenación. Se están usando los datos de los observadores de la CIAT en buques cerqueros para trazar las distribuciones de las aves marinas.

9.4. Otras especies

- a. En junio de 2000, la CIAT adoptó una resolución sobre la liberación de tiburones, rayas, peces picudos, dorados, petos, y otras especies no objetivo.
- b. La [Resolución C-04-05](#), adoptada por la CIAT en junio de 2006, encarga al Director buscar fondos para la reducción de la mortalidad incidental de atunes juveniles, para desarrollar técnicas y/o equipo para facilitar la liberación de peces picudos, tiburones y rayas de la cubierta o de la red, y para realizar experimentos para estimar las tasas de supervivencia de peces picudos, tiburones y rayas liberados.

9.5. Todas especies

- a. Se está recabando datos sobre las capturas incidentales por buques cerqueros grandes, y se insta a los gobiernos a proveer información sobre las capturas incidentales de otros buques.
- b. Se han recabado datos sobre la distribución espacial de las capturas incidentales y las proporciones de captura incidental a captura para análisis de opciones de políticas de reducción de capturas incidentales.
- c. Se ha recabado información para evaluar medidas para reducir las capturas incidentales, tales como vedas, límites de esfuerzo, etc.
- d. Se han realizado evaluaciones de preferencias de hábitat y el efecto de cambios ambientales.

10. ACONTECIMIENTOS FUTUROS

Es poco probable, al menos en el futuro cercano, que se disponga de evaluaciones de las poblaciones de la mayoría de las especies de captura incidental. Es posible que en lugar de evaluaciones formales se puedan desarrollar índices para evaluar tendencias en la condición de estas especies. La experiencia del personal de la CIAT con los delfines sugiere que la tarea no es trivial si se desea una precisión relativamente alta.

Han sido propuestas varias medidas para estudiar cambios en las características del ecosistema, entre ellas

estudios del nivel trófico medio, espectros de tamaño, dominancia, diversidad, y otros, para describir el ecosistema de forma agregada.

La distribución de las pesquerías de atunes y peces picudos en el OPO es tal que incluye probablemente varias regiones con características ecológicas diferentes. Es posible que, dentro de éstas, masas de agua, características oceanográficas o topográficas, influencias del continente, etcétera, generen heterogeneidad que afecte la distribución de las distintas especies y su abundancia relativa en las capturas. Sería ventajoso incrementar los conocimientos de estos estratos ecológicos para poder usarlos en nuestros análisis.

Es importante continuar los estudios de los ecosistemas en el OPO. La capacidad de resolver problemas relacionados con la pesca y el ecosistema crecerá con el número de variables de hábitat, grupos taxonómicos y niveles tróficos estudiados y con series de tiempo de datos más largas.

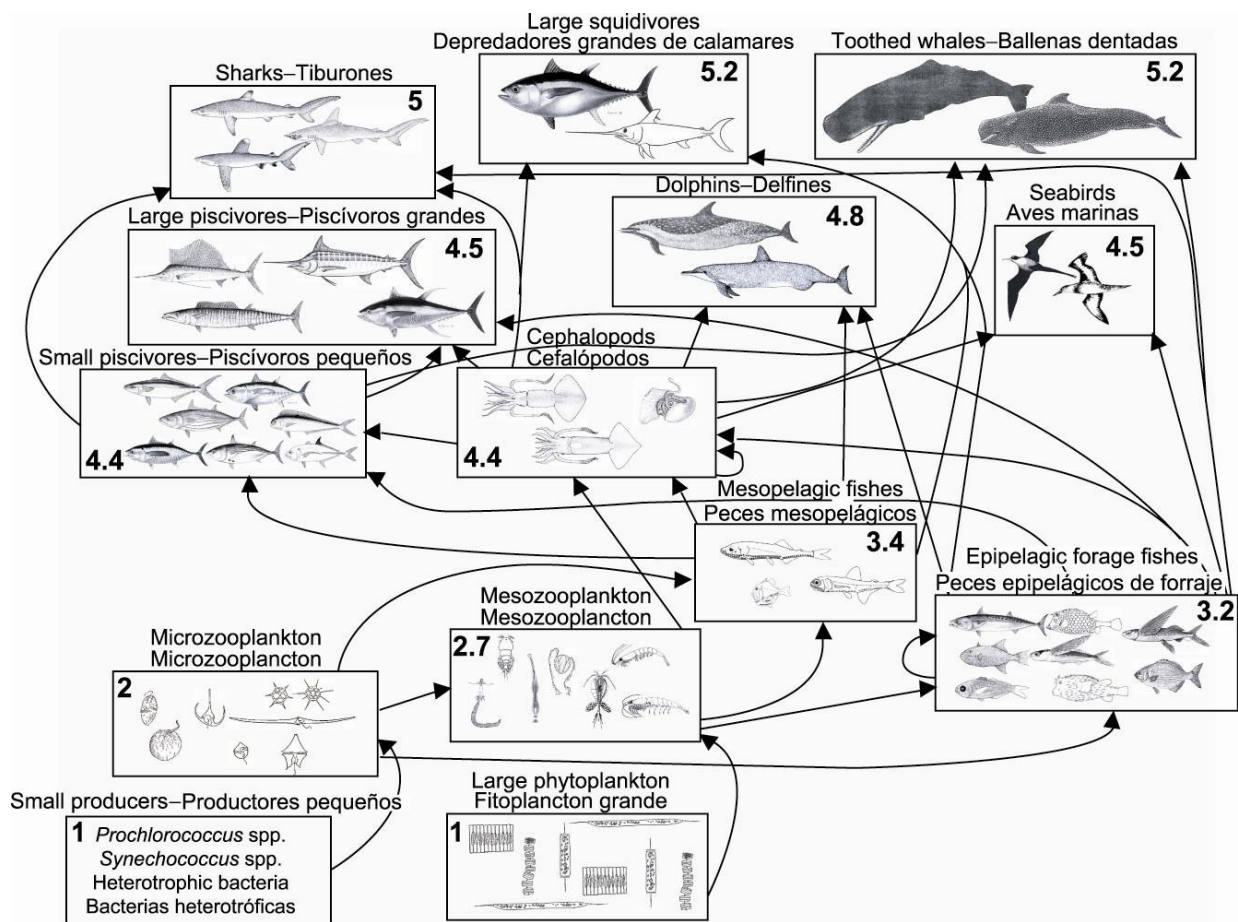


FIGURE 1. Simplified food-web diagram of the pelagic ecosystem in the tropical EPO. The numbers inside the boxes indicate the approximate trophic levels of each group.

FIGURA 1. Diagrama simplificado de la red trófica del ecosistema pelágico en el OPO tropical. Los números en los recuadros indican el nivel trófico aproximado de cada grupo.

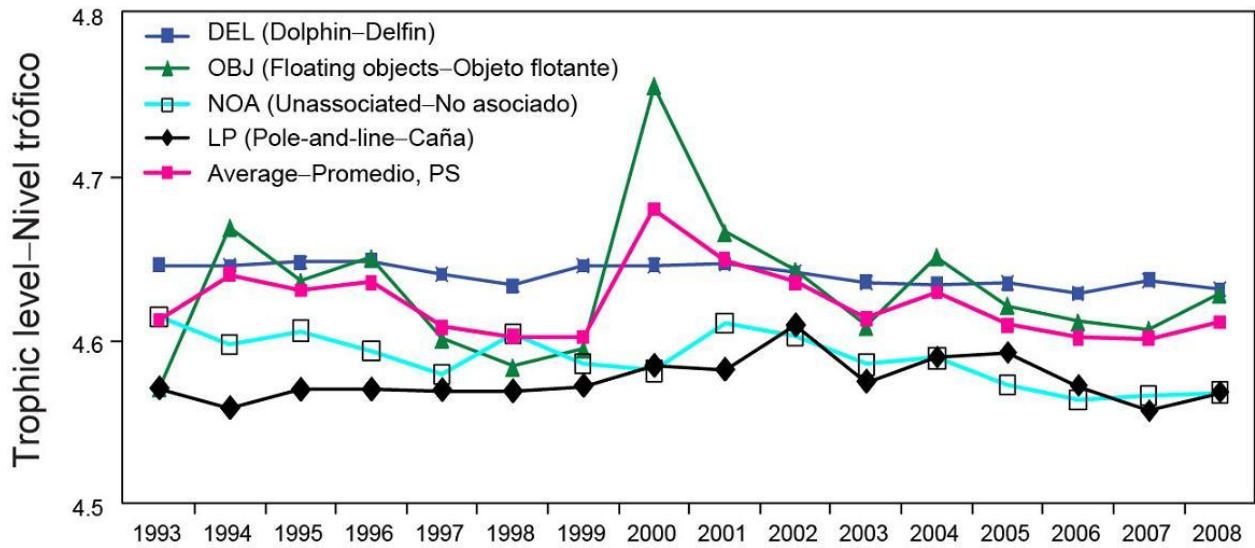


FIGURE 2. Yearly trophic level estimates of the catches (retained and discarded) by the purse-seine and pole-and-line fisheries in the tropical EPO, 1993-2008.

FIGURA 2. Estimaciones anuales del nivel trófico de las capturas (retenidas y descartadas) de las pesquerías cerquera y cañera en el OPO tropical, 1993-2008.

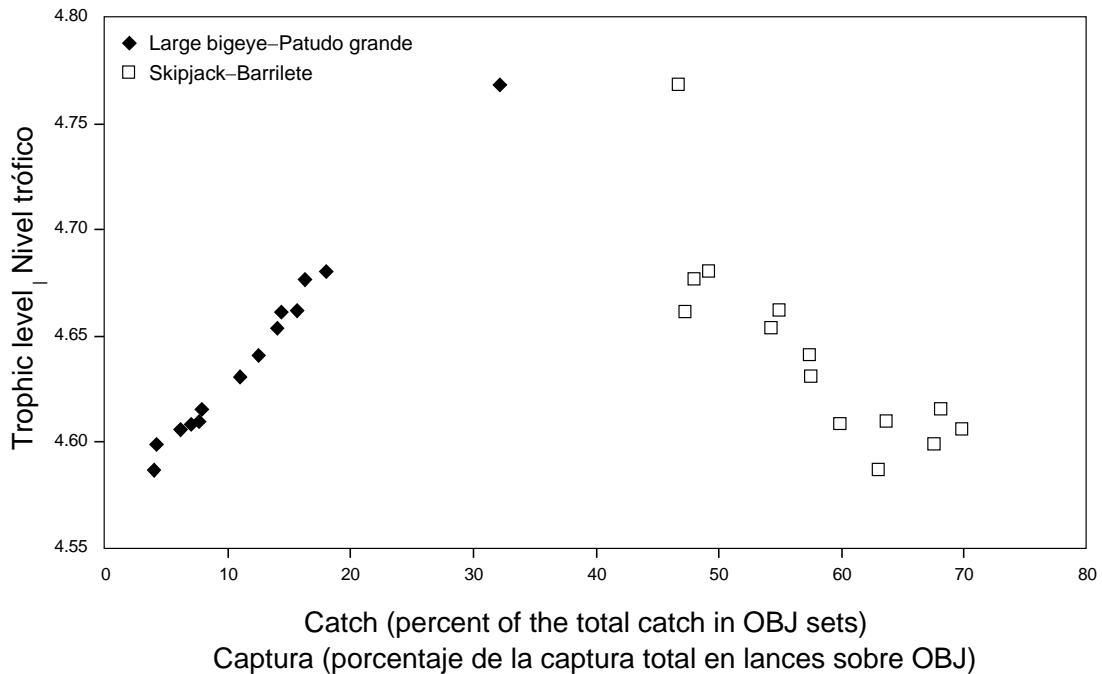


FIGURE 3. Estimates of the trophic levels of the retained catches of large bigeye and of skipjack in floating-object sets (OBJ) in the tropical EPO, 1993-2006, versus the catches of large bigeye and of skipjack calculated as percentages of the total catches in floating-object sets each year.

FIGURA 3. Estimaciones de los niveles tróficos de las capturas retenidas y descartadas en lances sobre objetos flotantes (OBJ) en el OPO tropical, 1993-2006, relativas a las capturas de patudo grande y barrilete, calculadas como porcentajes de las capturas totales en lances sobre objetos flotantes cada año.

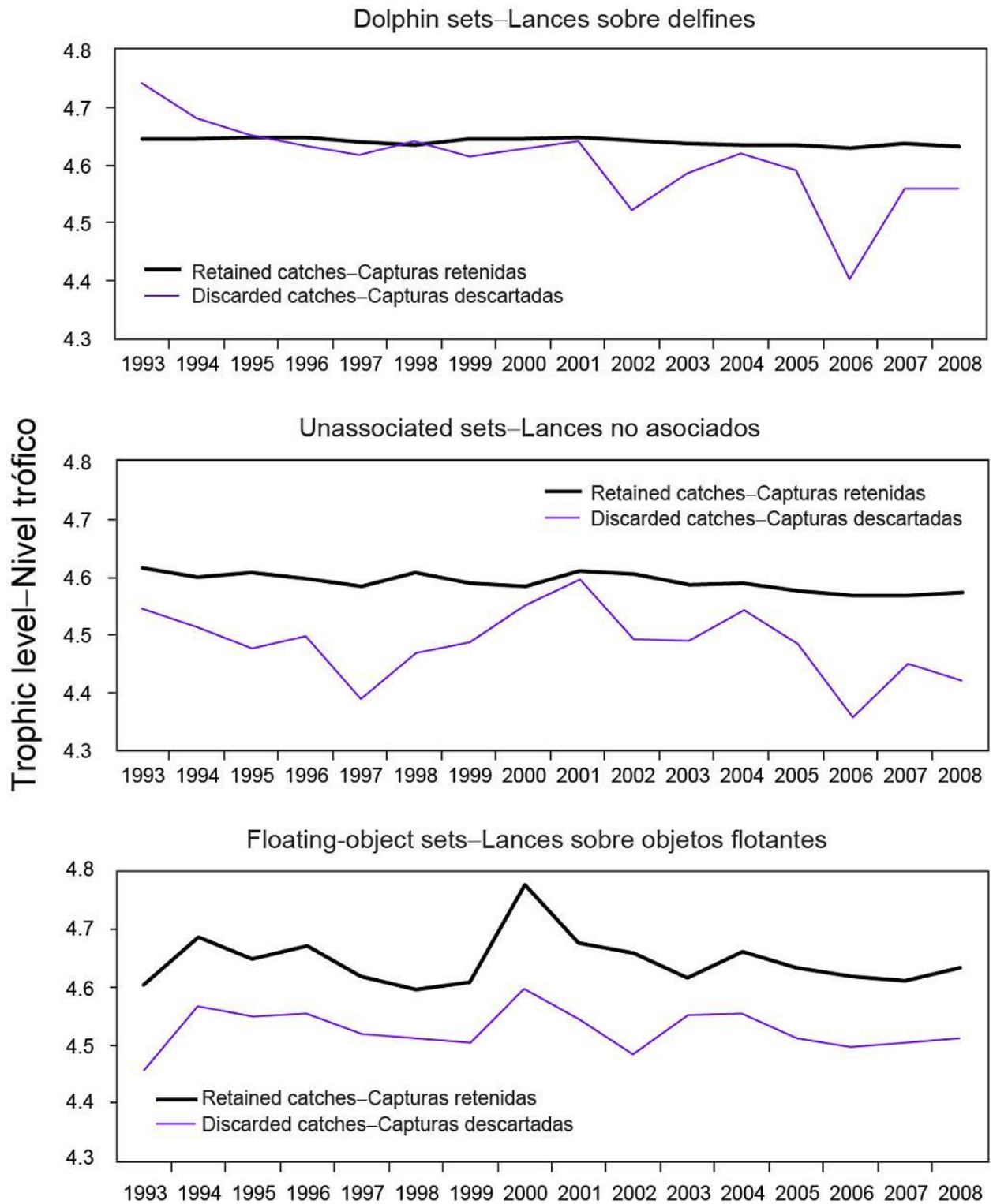


FIGURE 4. Trophic level estimates of the retained catches and discarded catches by purse-seine fishing modes in the tropical EPO, 1993-2008.

FIGURA 4. Estimaciones del nivel trófico de las capturas retenidas y descartadas por modalidad de pesca cerquera en el OPO tropical, 1993-2008.

Species codes used in Figures 5-7– Códigos de especies usados en las Figuras 5-7

	Grouping	Species	Grupo	Especie
YFT	Tunas	Yellowfin tuna	Atunes	Atún aleta amarilla
BET		Bigeye tuna		Atún patudo
SKJ		Skipjack tuna		Atún barrilete
BLM	Billfishes	Black marlin	Peces picudos	Marlín negro
BUM		Blue marlin		Marlín azul
MLS		Striped marlin		Marlín rayado
SFA		Indo-Pacific sailfish		Pez vela del Indo-Pacífico
DPN	Dolphins	Spotted dolphin	Delfines	Delfín manchado
DSI		Spinner dolphin		Delfín tornillo
DCO		Common dolphin		Delfín común
DOL	Large fishes	Dolphinfish	Peces grandes	Dorado
WAH		Wahoo		Peto
RRU		Rainbow runner		Salmón
CXS		Bigeye trevally		Jurel voraz
YTC		Yellowtail amberjack		Medregal rabo amarillo
MOX		Ocean sunfish		Pez luna
RMB	Rays	Giant manta	Mantarrayas	Mantarraya gigante
FAL	Sharks	Silky shark	Tiburones	Tiburón jaquetón (sedoso)
OCS		Oceanic whitetip shark		Tiburón oceánico (punta blanca)
BTH		Bigeye thresher shark		Zorro ojón
PTH		Pelagic thresher shark		Zorro pelágico
SPL		Scalloped hammerhead shark		Cornuda común
SPK		Great hammerhead		Cornuda gigante
SPZ		Smooth hammerhead shark		Cornuda cruz
CNT	Small fishes	Ocean triggerfish	Peces pequeños	Pez ballesta oceánico
LKV	Turtles	Olive Ridley turtle	Tortugas	Tortuga golfina

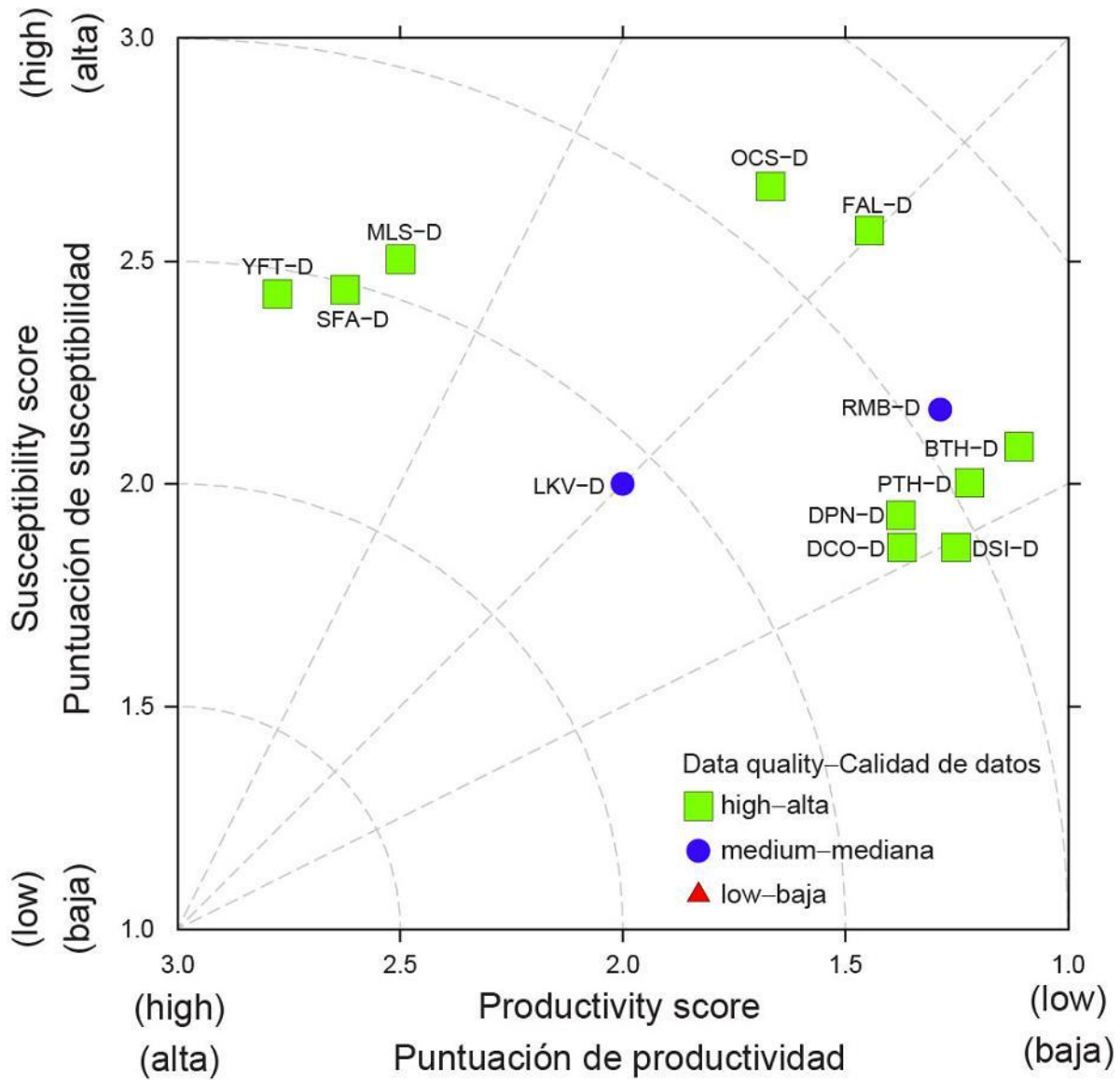


FIGURE 5. Productivity and susceptibility x-y plot for target and bycatch species in dolphin sets in the purse-seine fishery of the eastern Pacific Ocean. 3-alpha species codes next to each point are defined on page 22; -D: dolphin sets.

FIGURA 5. Gráfica x-y de productividad y susceptibilidad de especies objetivo y de captura incidental en lances sobre delfines en la pesquería de cerco en el Océano Pacífico oriental. Se definen los códigos de especies de tres letras en la página 22; -D: lances sobre delfines.

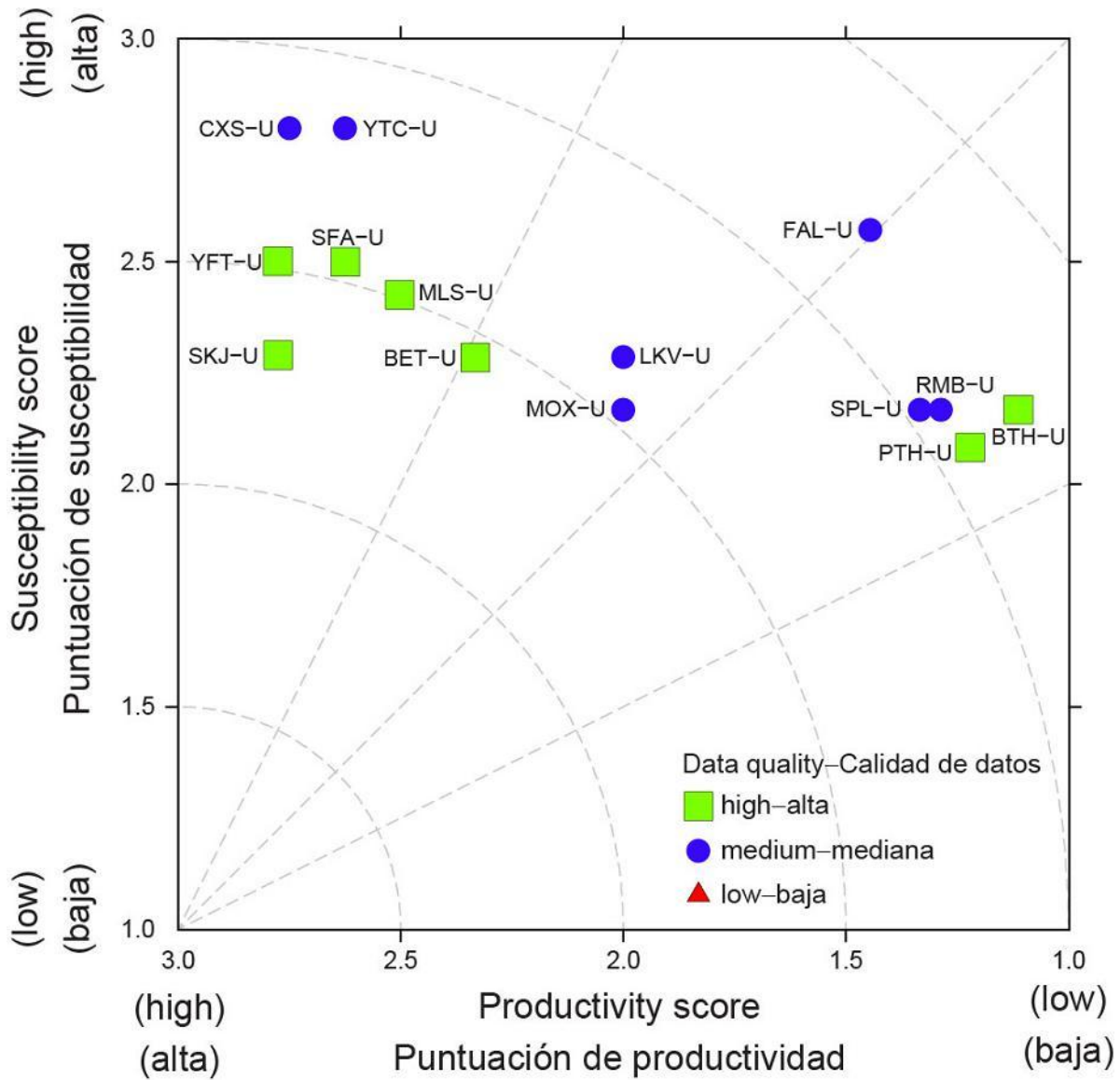


FIGURE 6. Productivity and susceptibility x-y plot for target and bycatch species of unassociated sets in the purse-seine fishery of the eastern Pacific Ocean. 3-alpha species codes next to each point are defined on page 22, and are followed by -U, which indicates unassociated sets.

FIGURA 6. Gráfica x-y de productividad y susceptibilidad de especies objetivo y de captura incidental en lances no asociados en la pesquería de cerco en el Océano Pacífico oriental. Se definen los códigos de especies de tres letras en la página 22; -U: lances no asociados.

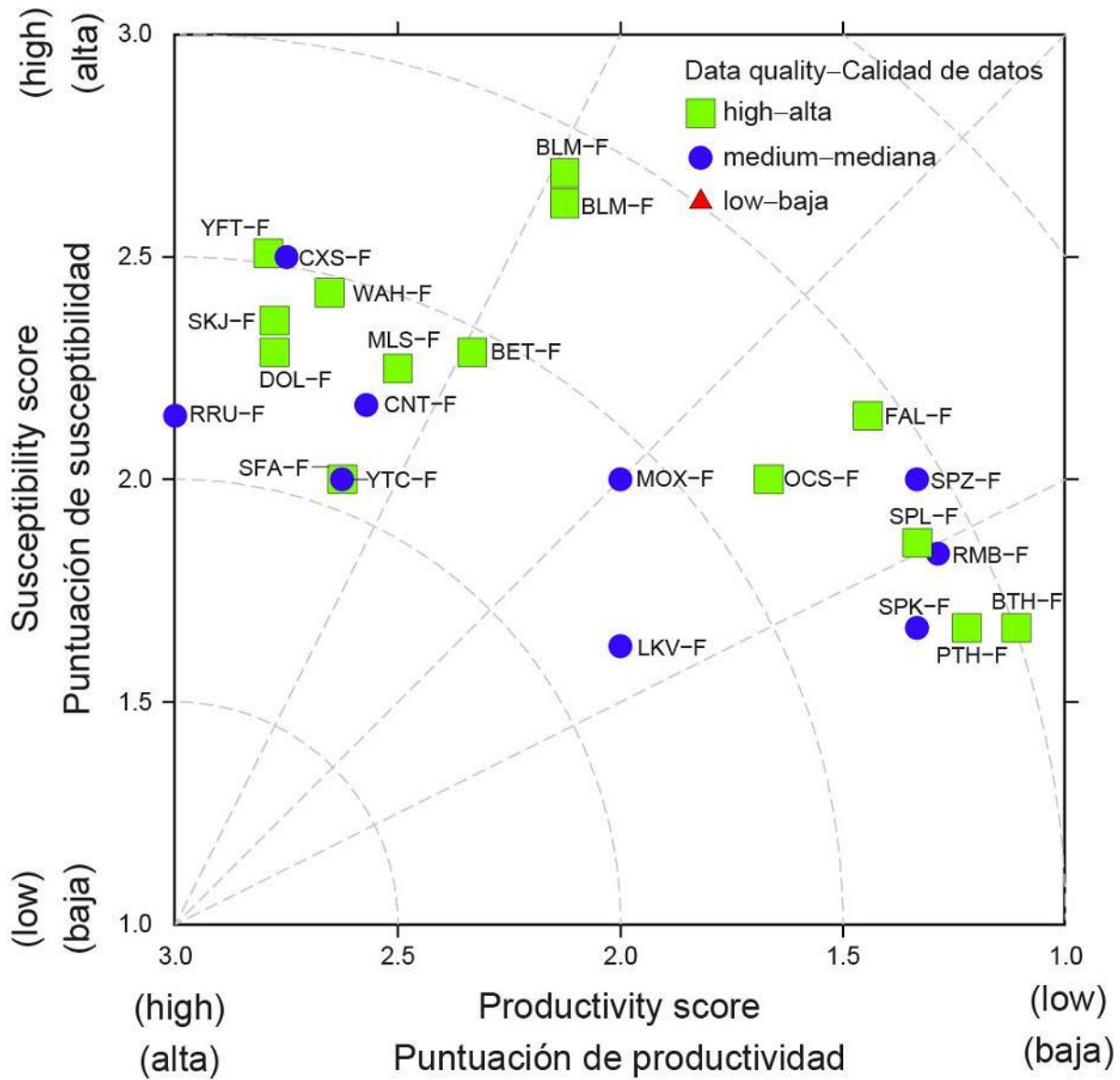


FIGURE 7. Productivity and susceptibility x-y plot for target and bycatch species of floating-object sets in the purse-seine fishery of the eastern Pacific Ocean. 3-alpha species codes next to each point are defined on page 22, and are followed by -F, which indicates floating-object sets.

FIGURA 7. Gráfica x-y de productividad y susceptibilidad de especies objetivo y de captura incidental en lances sobre objetos flotantes en la pesquería de cerco en el Océano Pacífico oriental. Se definen los códigos de especies de tres letras en la página 22; -D: lances sobre objetos flotantes.

TABLA 1. Especies objetivo y de captura incidental para los cuales se compilaron datos para definir los intervalos de puntuación de los atributos de productividad y susceptibilidad usados en un PSA preliminar de las pesquerías de cerco (delfines, no asociados, y objeto flotante) en el Océano Pacífico oriental. Los porcentajes de captura incidental corresponden a buques de cerco de más de 363 toneladas métricas de capacidad de acarreo durante 2005-2009. “n/a” indica las especies de atunes que fueron incluidas en el análisis, pero no se indicaron porcentajes porque los atunes no son captura incidental de esas pesquerías.

Especie			Captura incidental (porcentaje por tipo de lance)		
Grupo	Nombre común	Nombre científico	Delfines	No asociados	Objeto flotante
Atunes	Atún aleta amarilla	<i>Thunnus albacares</i>	n/a	n/a	n/a
	Atún patudo	<i>Thunnus obesus</i>	--	n/a	n/a
	Atún barrilete	<i>Katsuwonus pelamis</i>	--	n/a	n/a
Peces picudos	Marlín negro	<i>Makaira indica</i>	--	--	85%
	Marlín azul	<i>Makaira nigricans</i>	--	--	89%
	Marlín rayado	<i>Tetrapturus audax</i>	28%	24%	48%
	Pez vela Indo-Pacífico	<i>Istiophorus platypterus</i>	68%	17%	15%
Delfines	Delfín manchado	<i>Stenella attenuata</i>	100%	--	--
	Delfín tornillo	<i>Stenella longirostris</i>	100%	--	--
	Delfín común	<i>Delphinus delphis</i>	100%	--	--
Peces grandes	Dorado	<i>Coryphaena hippurus</i>	--	--	98%
	Peto	<i>Acanthocybium solandri</i>	--	--	100%
	Salmón	<i>Elagatis bipinnulata</i>	--	--	100%
	Jurel voraz	<i>Caranx sexfasciatus</i>	--	52%	48%
	Medregal rabo amarillo	<i>Seriola lalandi</i>	--	15%	85%
	Pez luna	<i>Mola mola</i>	--	14%	79%
Mantarrayas	Mantarraya gigante	<i>Manta birostris</i>	61%	25%	13%
Tiburones	Tiburón jaquetón (sedoso)	<i>Carcharhinus falciformis</i>	3%	4%	93%
	Tiburón oceánico (punta blanca)	<i>Carcharhinus longimanus</i>	8%	--	91%
	Zorro ojón	<i>Alopias superciliosus</i>	35%	51%	14%
	Zorro pelágico	<i>Alopias pelagicus</i>	34%	43%	23%
	Cornuda común	<i>Sphyrna lewini</i>	--	18%	77%
	Cornuda gigante	<i>Sphyrna mokarran</i>	--	--	93%
	Cornuda cruz	<i>Sphyrna zygaena</i>	--	--	88%
Peces pequeños	Pez ballesta oceánico	<i>Canthidermis maculatus</i>	--	--	100%
Tortugas	Tortuga golfina	<i>Lepidochelys olivacea</i>	18%	13%	69%

TABLE 2. Preliminary productivity attributes and proposed scoring thresholds used in the IATTC PSA.**TABLA 2.** Atributos de productividad preliminares y umbrales de puntuación propuestos usados en el PSA de la CIAT.

Productivity attribute Atributo de productividad	Ranking – Clasificación		
	Low – Bajo (1)	Moderate – Moderado (2)	High – Alto (3)
Intrinsic rate of population growth (<i>r</i>) Tasa intrínseca de crecimiento de la población (<i>r</i>)	> 1.3	> 0.1, ≤ 1.3	≤ 0.1
Maximum age (years) Edad máxima (años)	≥ 20	> 11, < 20	≤ 11
Maximum size (cm) Talla máxima (cm)	> 350	> 200, ≤ 350	≤ 200
von Bertalanffy growth coefficient (<i>k</i>) Coeficiente de crecimiento de von Bertalanffy (<i>k</i>)	< 0.095	0.095 – 0.21	> 0.21
Natural mortality (<i>M</i>) Mortalidad natural (<i>M</i>)	< 0.25	0.25 – 0.48	> 0.48
Fecundity (measured) Fecundidad (medida)	> 200,000	10 – 200,000	< 10
Breeding strategy Estrategia de reproducción	≥ 4	1 to-a 3	0
Age at maturity (years) Edad de madurez (años)	≥ 7.0	≥ 2.7, < 7.0	< 2.7
Mean trophic level Nivel trófico medio	> 5.1	4.5 – 5.1	< 4.5

TABLA 3. Atributos de susceptibilidad preliminares y umbrales de puntuación propuestos usados en el PSA de la CIAT.

Atributo de susceptibilidad	Clasificación		
	Baja (1)	Moderada (2)	Alta (3)
Estrategia de ordenación	Medidas de ordenación y responsabilidad proactiva en vigor	Poblaciones nombradas específicamente en resoluciones de conservación; estrechamente vigiladas	Sin medidas de ordenación; poblaciones estrechamente vigiladas
Índice traslapo zonal - concentración geográfica	Capturas incidentales máximas fuera de zonas con el mayor número de lances y población no concentrada (o común)	Capturas incidentales máximas fuera de zonas con el mayor número de lances y población concentrada (o poco común), O Capturas incidentales máximas en zonas con el mayor número de lances y población no concentrada (o común)	Capturas incidentales máximas fuera de zonas con el mayor número de lances y población concentrada (o poco común)
Traslado vertical con el arte	< 25% de la población ocurre en las profundidades pescadas	Entre 25% y 50% de la población ocurre en las profundidades pescadas	> 50% de la población ocurre en las profundidades pescadas
Migraciones estacionales	Migraciones estacionales reducen el traslapo con la pesquería	Migraciones estacionales no afectan sustancialmente el traslapo con la pesquería	Migraciones estacionales incrementan el traslapo con la pesquería
Agrupación/agregación y otras reacciones comportamentales al arte	Reacciones comportamentales reducen la capturabilidad del arte	Reacciones comportamentales no afectan sustancialmente la capturabilidad del arte	Reacciones comportamentales incrementan la capturabilidad del arte
Supervivencia potencial después de la captura y liberación con las prácticas de pesca actuales	Probabilidad de supervivencia > 67%	33% < probabilidad de supervivencia ≤ 67%	Probabilidad de supervivencia < 33%
Deseabilidad/valor de la captura (porcentaje de retención)	Población no es altamente valorada o deseada por la pesquería (< 33% retención)	Población es moderadamente valorada o deseada por la pesquería (33-66% retención)	Población es altamente valorada o deseada por la pesquería (> 66% retención)
Tendencias de captura	Captura por lance aumenta con el tiempo	Ninguna tendencia de la captura por lance con el tiempo	Captura por lance disminuye con el tiempo